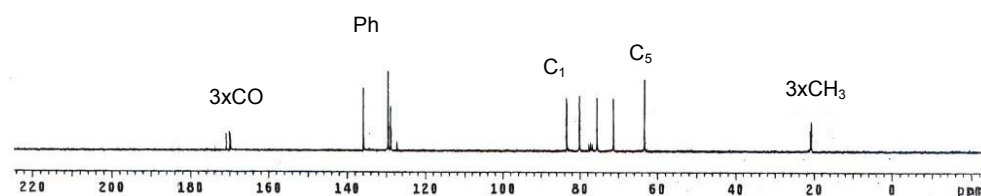
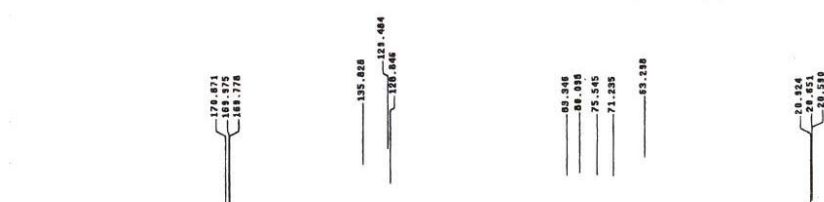
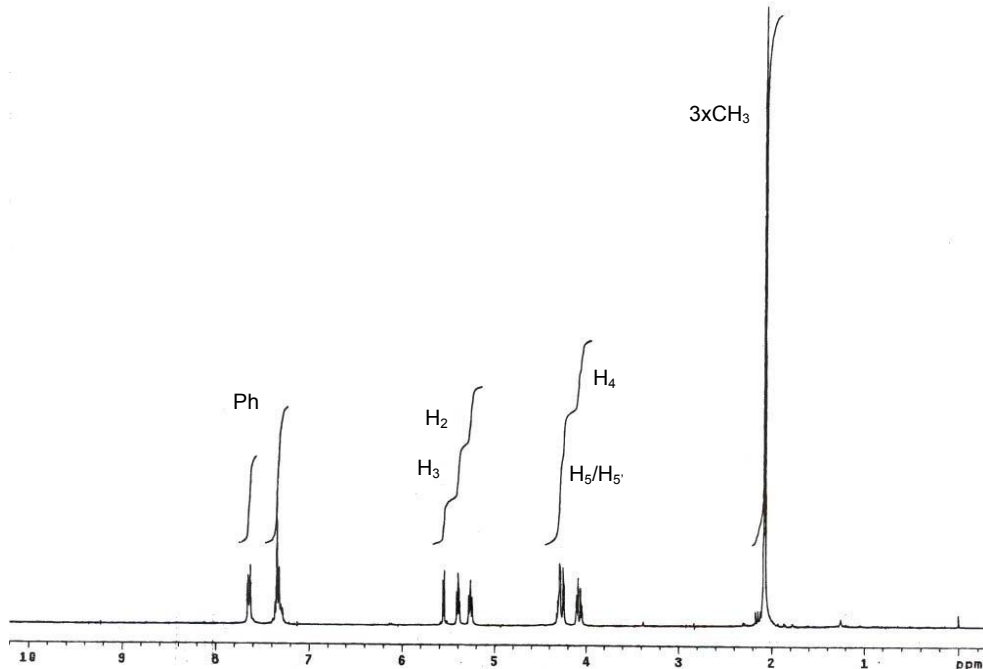
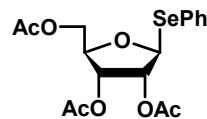
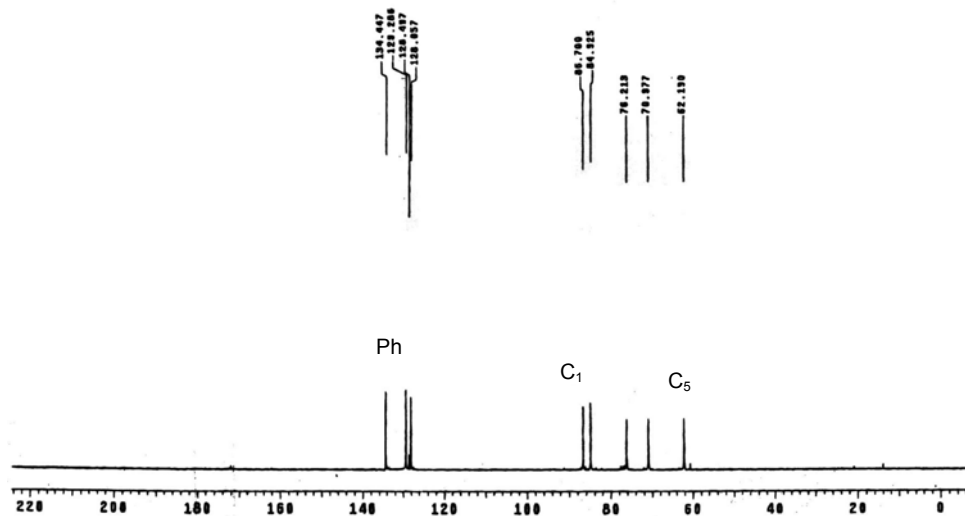
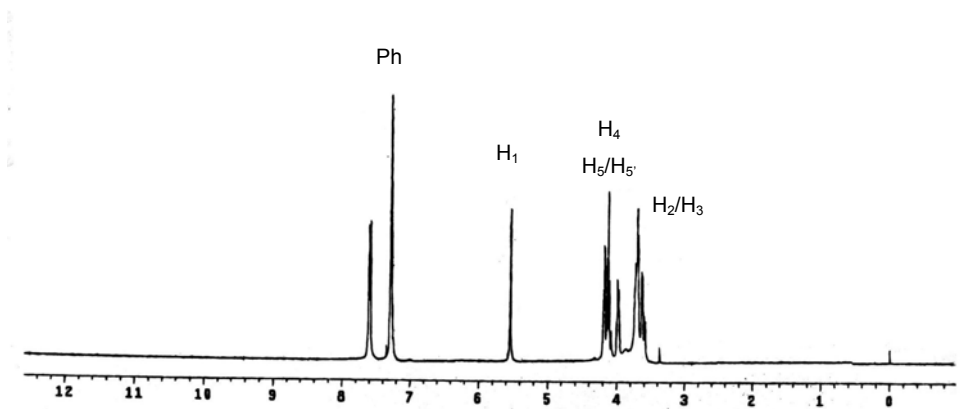
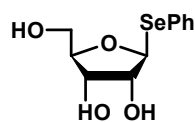
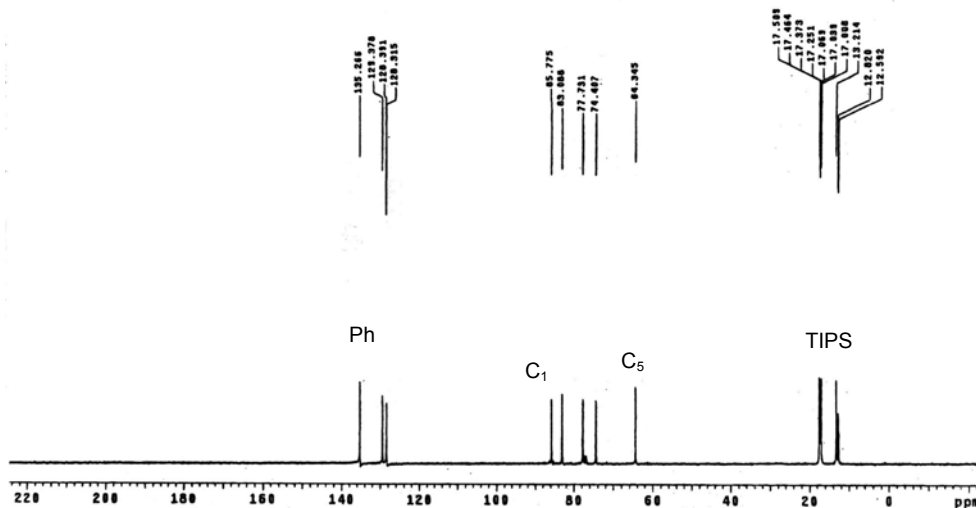
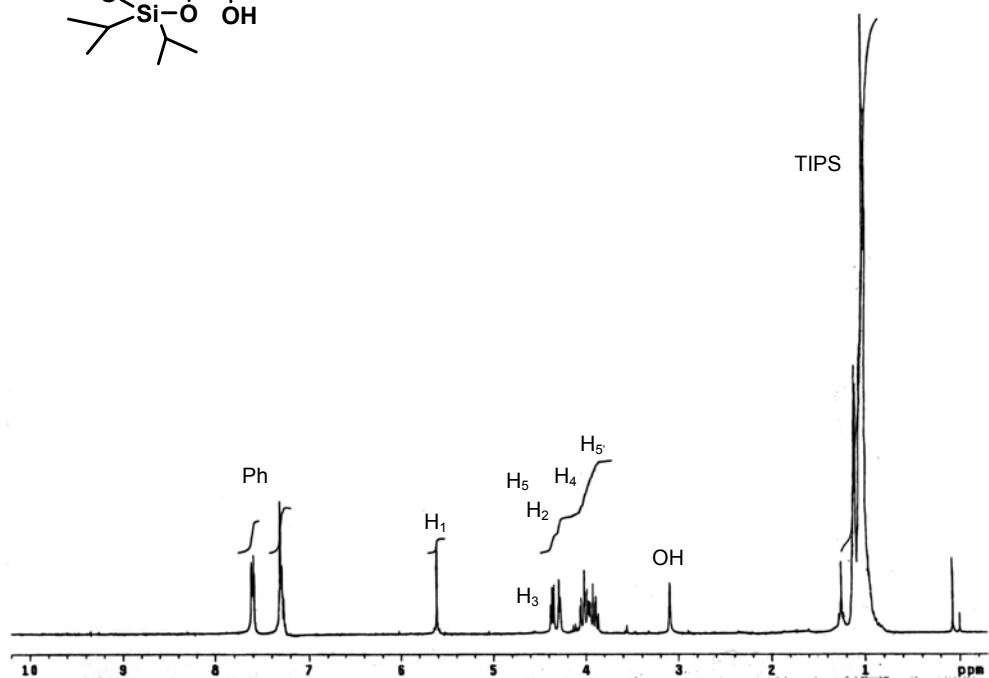
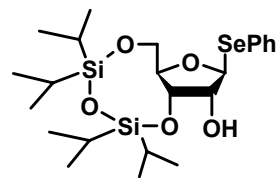


Espectro de RMN de ^1H y ^{13}C del fenil 2,3,5-tri-*O*-acetil-1-seleno - β -D-ribofuranósido (2).

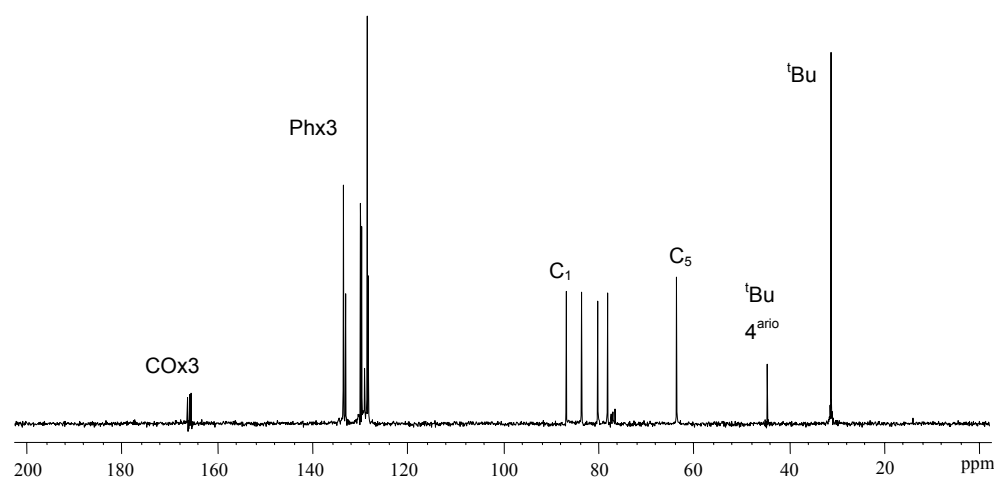
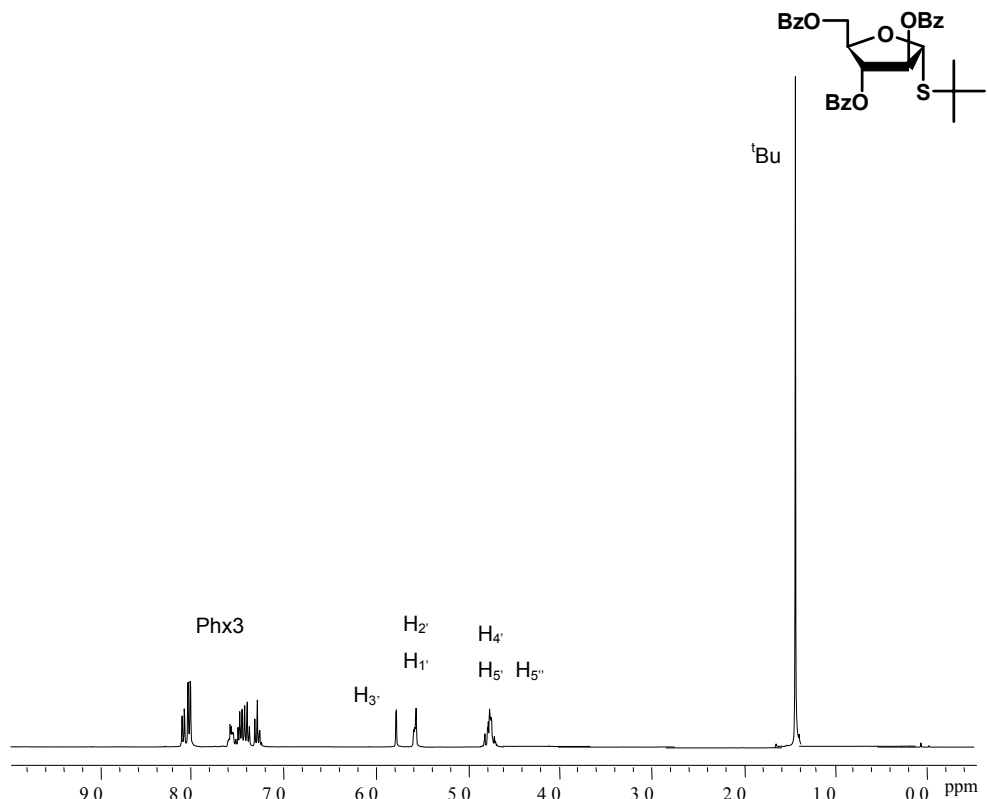


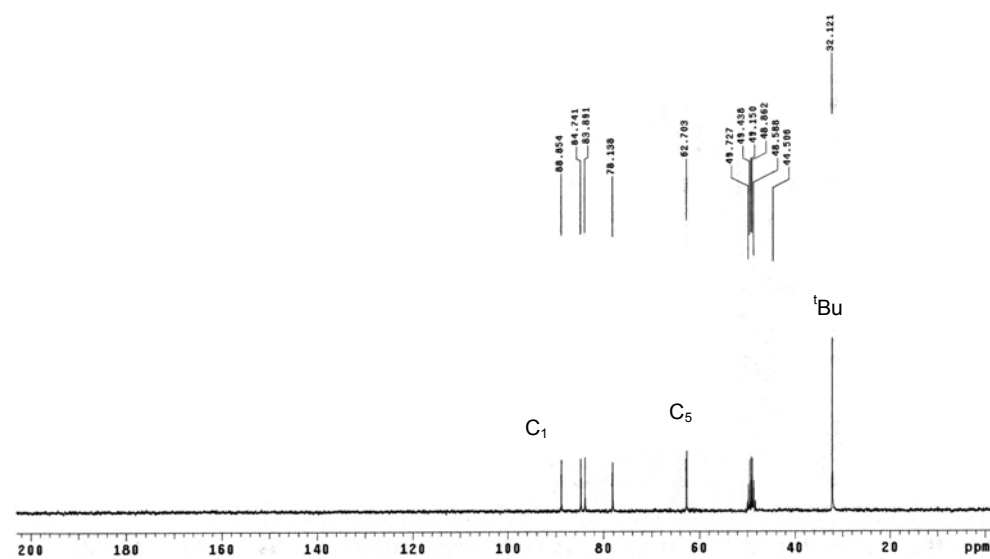
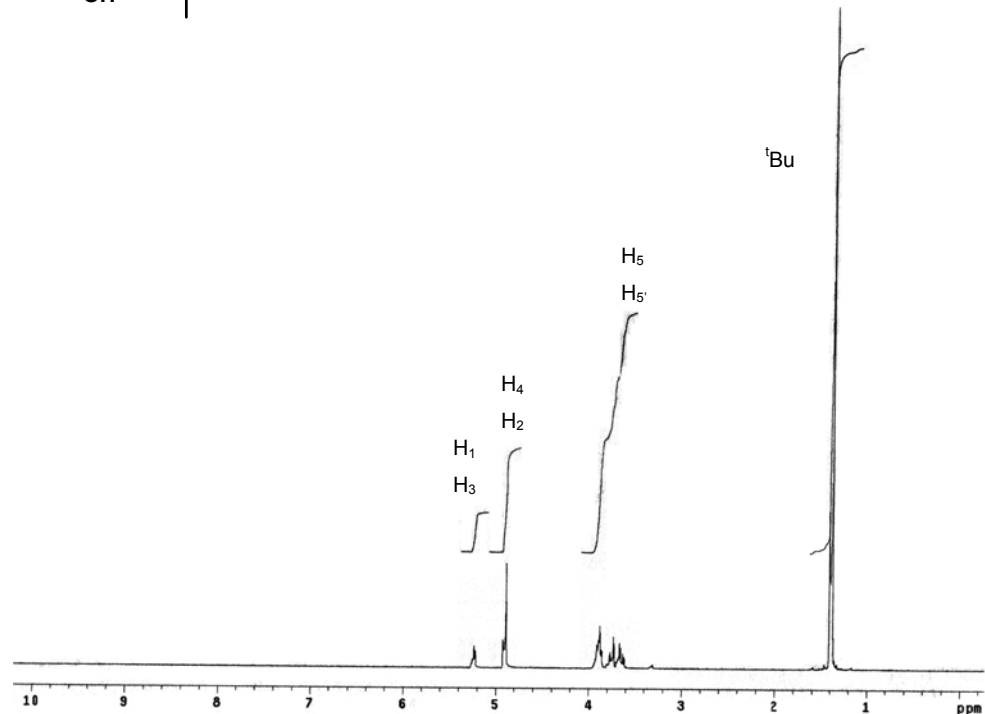
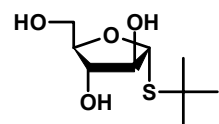
Espectro de RMN de ^1H y ^{13}C del fenil 1-seleno- β -D-ribo-furanósido (7).

Espectro de RMN de ^1H y ^{13}C del fenil 3,5-*O*-(1,1,3,3-dicloruro de 1,1,3,3-tetraisopropildisiloxano-1,3-diil)-1-seleno- β -*D*-ribo-furanósido (12).

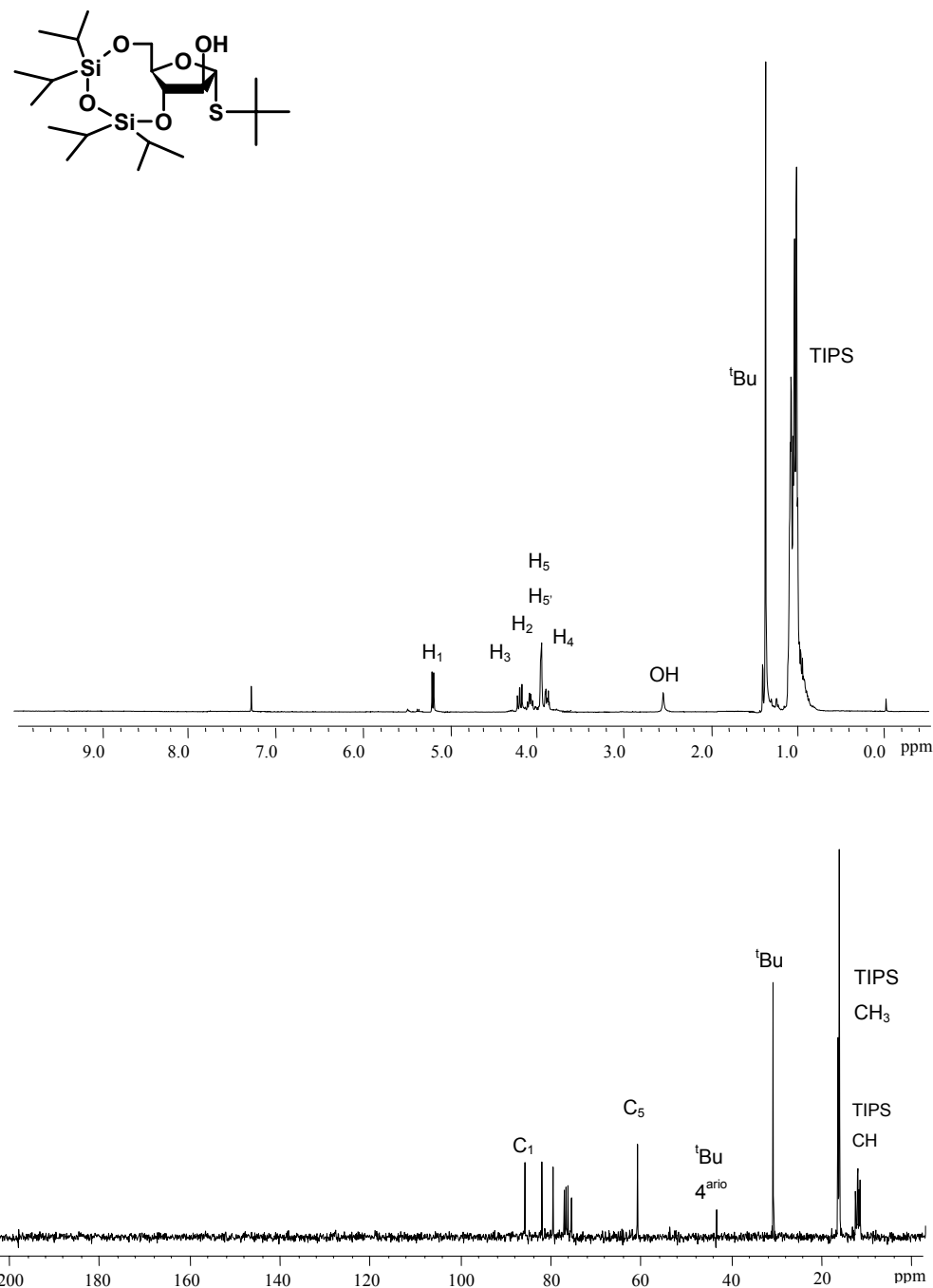


Espectro de RMN de ^1H y ^{13}C del *terc*-butil 2,3,5-tri-*O*-benzoyl-1-tio- α -D-arabino-furanósido (23 α).

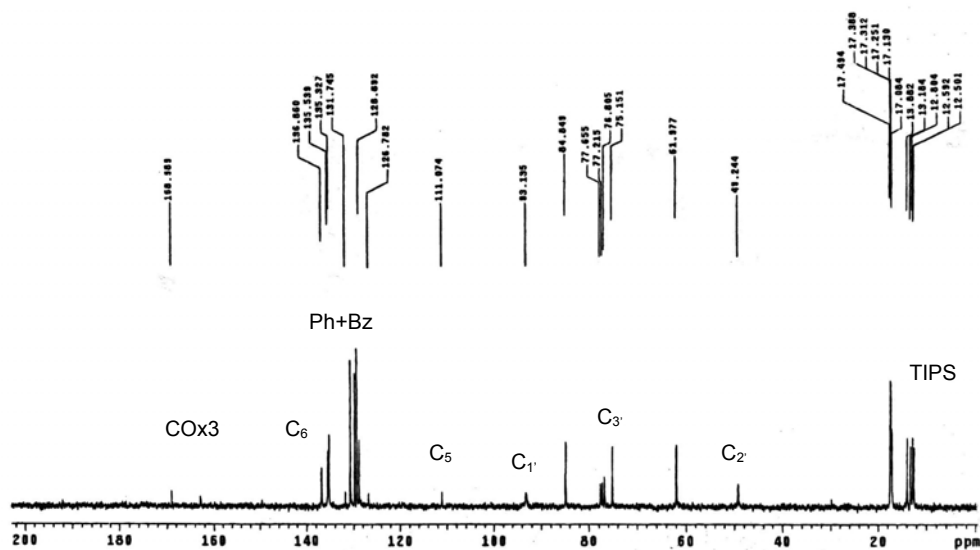
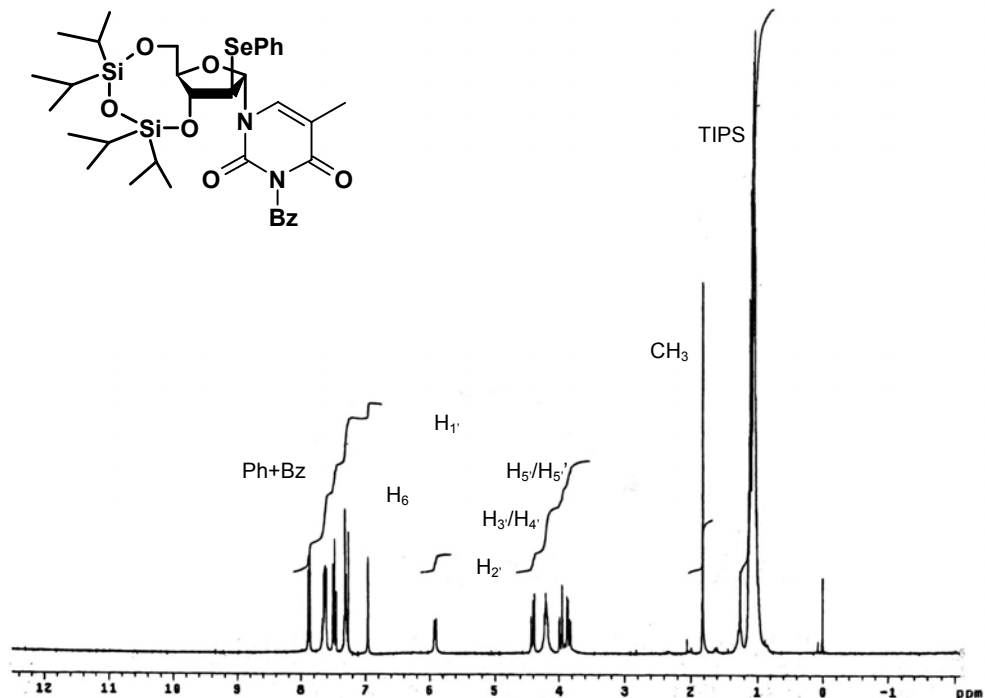
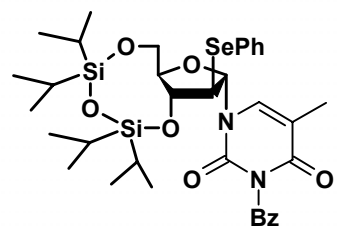


Espectro de RMN de ^1H y ^{13}C del *terc*-butil 1-tio- α -D-arabinofuranósido (26).

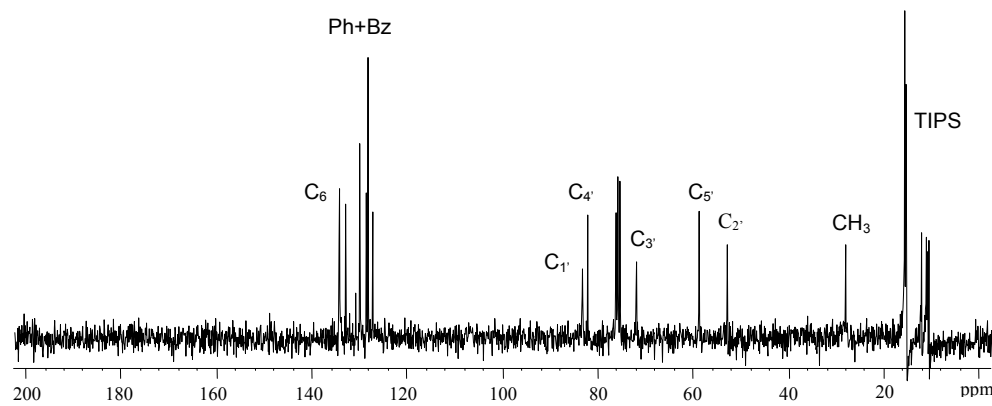
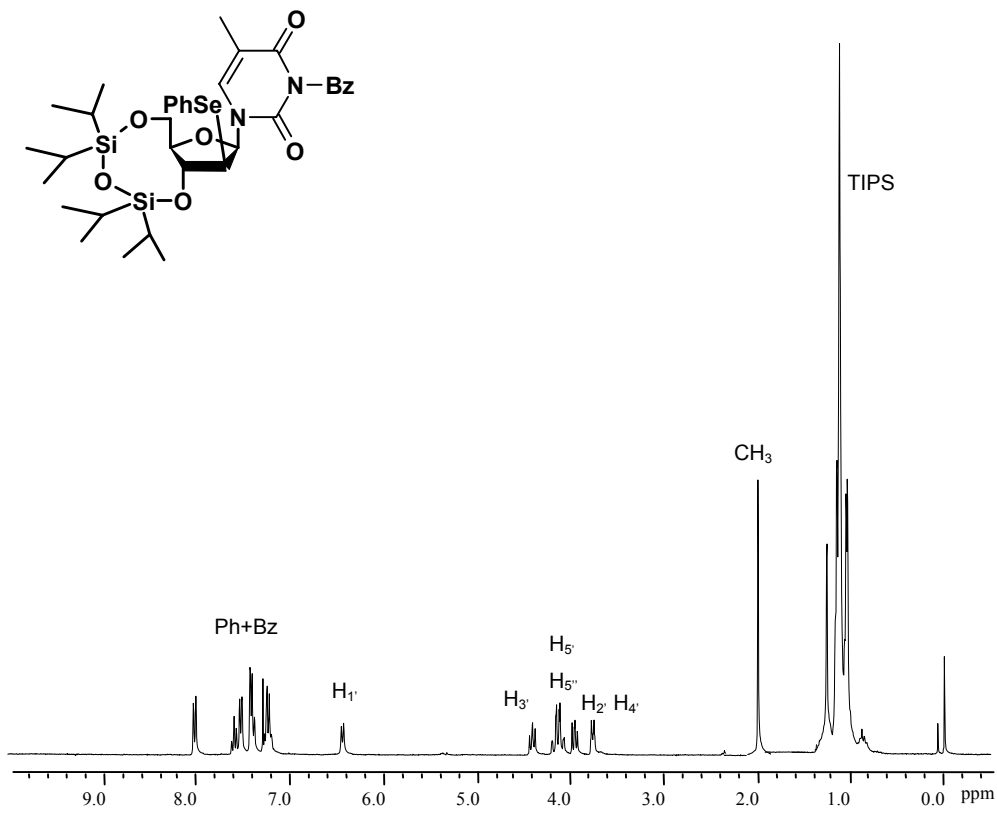
Espectro de RMN de ^1H y ^{13}C del *terc*-butil 3,5-*O*-(1,1,3,3,-dicloruro de 1,1,3,3-tetraisopropildisiloxano-1,3-diil)-1-tio- α -*D*-arabino-furanósido (29).



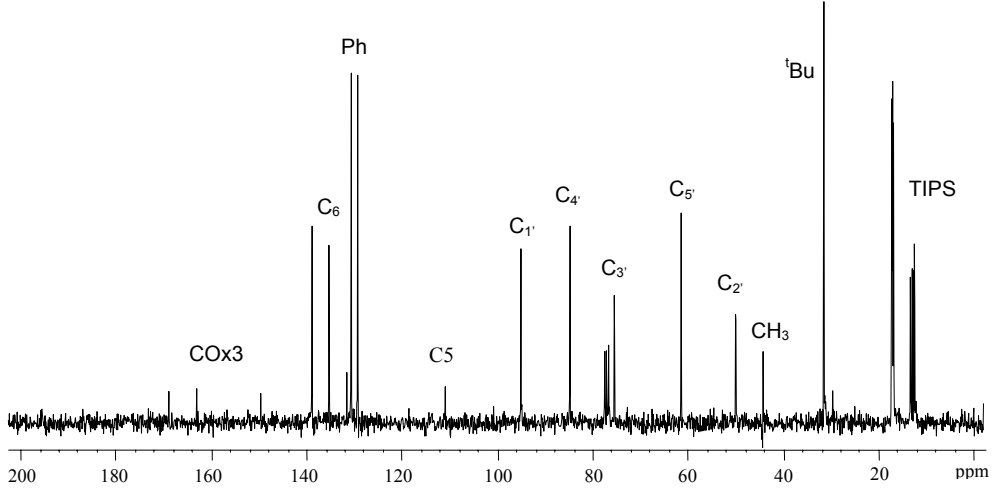
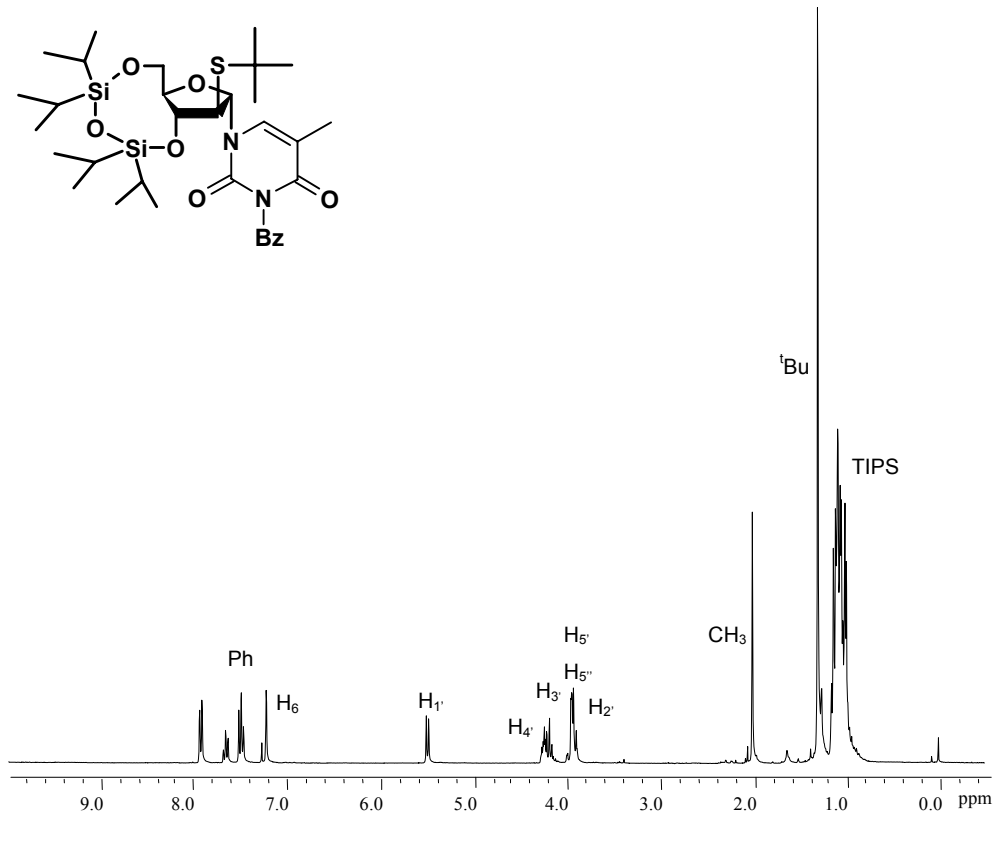
Espectro de RMN de ^1H y ^{13}C del 1-(2-fenilselenil-3,5-O-(1,1,3,3-tetraisopropildisiloxano-1,3-diil)- α -D-arabino-furanosil)-N 3 -benzoyltimina (32 α).



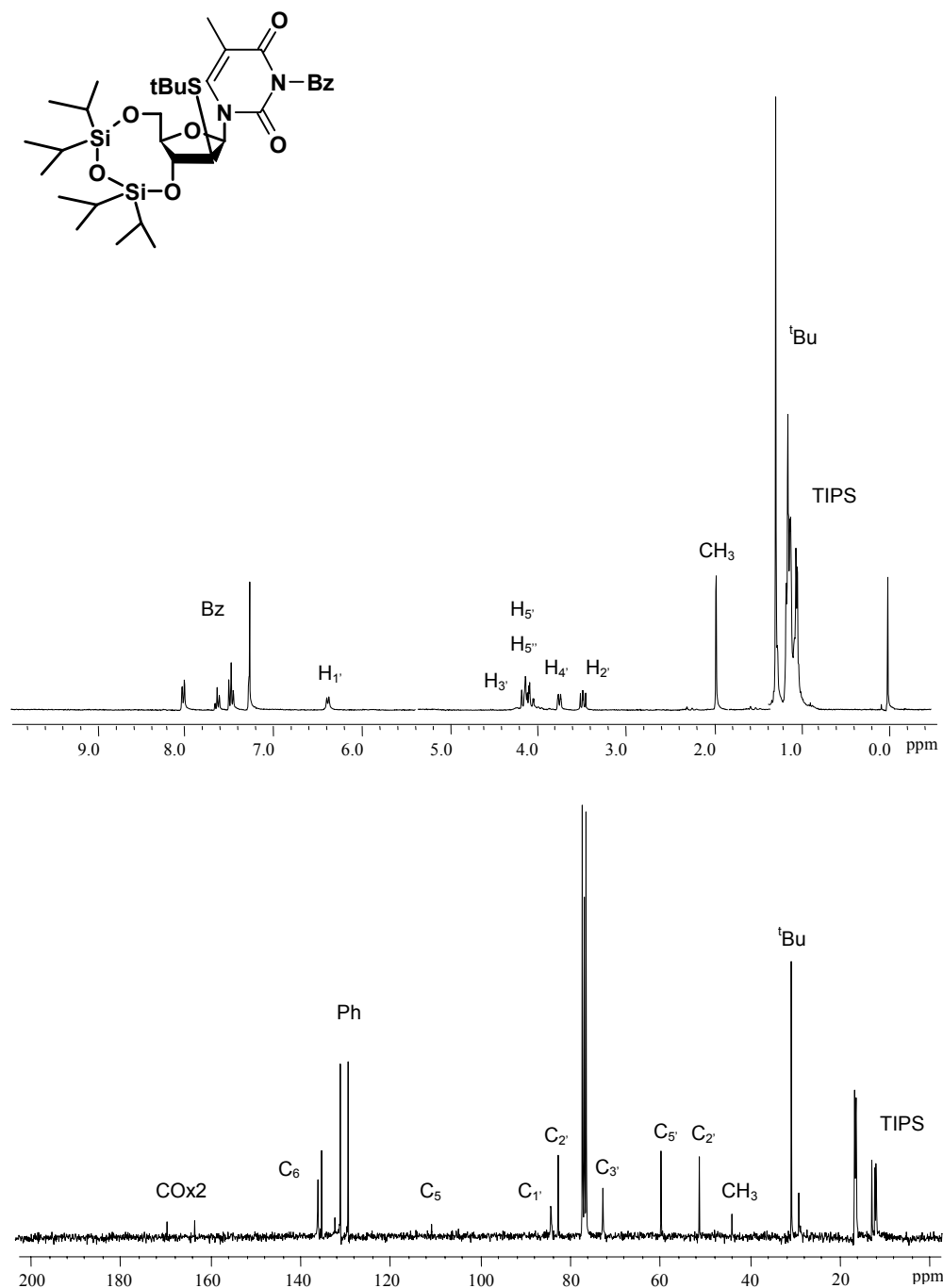
Espectro de RMN de ^1H y ^{13}C del 1-(2-fenilselenil-3,5-O-(1,1,3,3-tetraiso-propildisiloxano-1,3-diil)- β -D-arabino-furanosil)-N 3 -benzoyltimina (32 β).



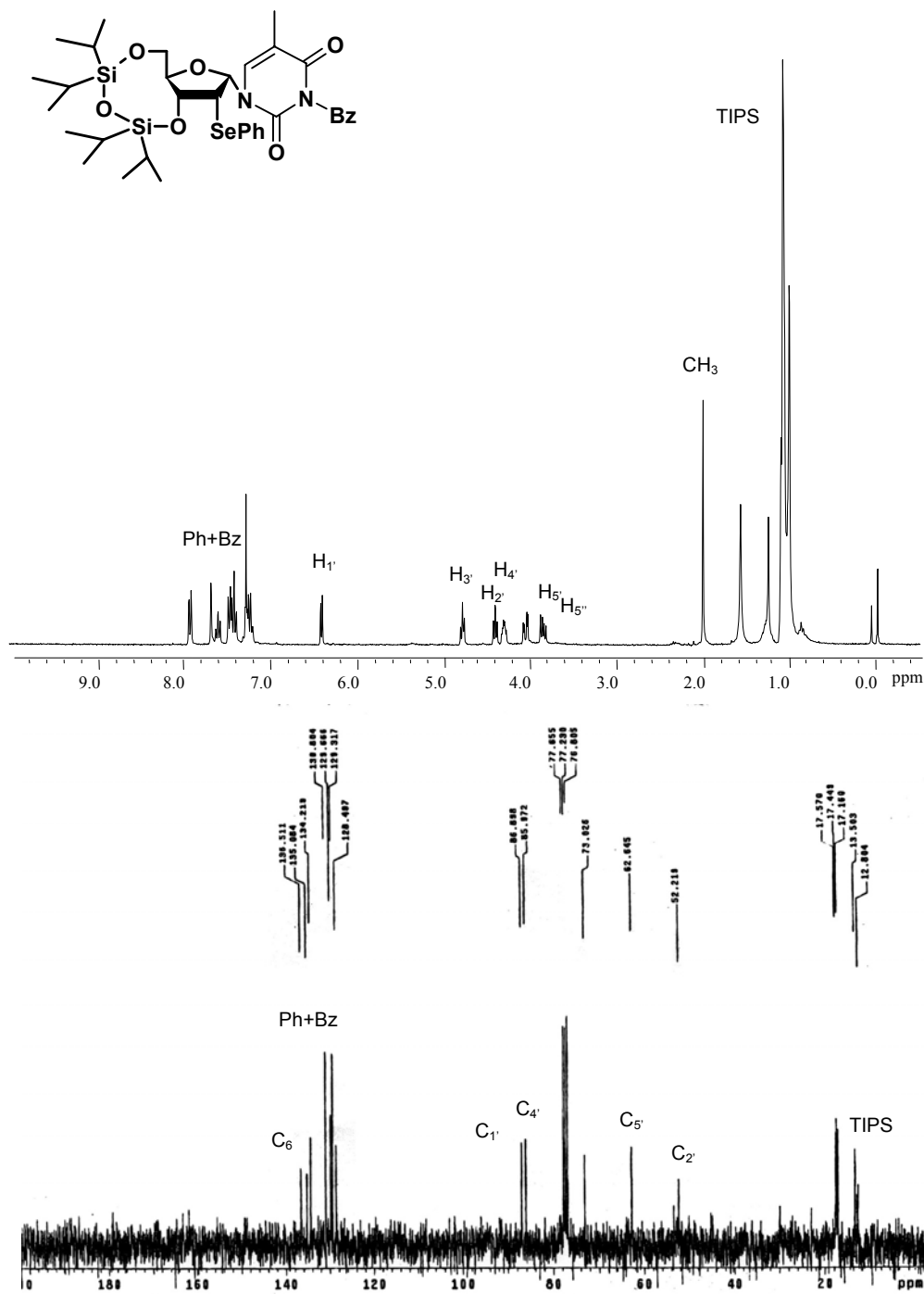
Espectro de RMN de ^1H y ^{13}C del 1-(2-*terc*-butilsufenil-3,5-*O*-(1,1,3,3-tetraiso-propildisiloxano-1,3-diil)- α,β -*D*-arabino-furanosil)-N 3 -benzoyltimina (36 α).



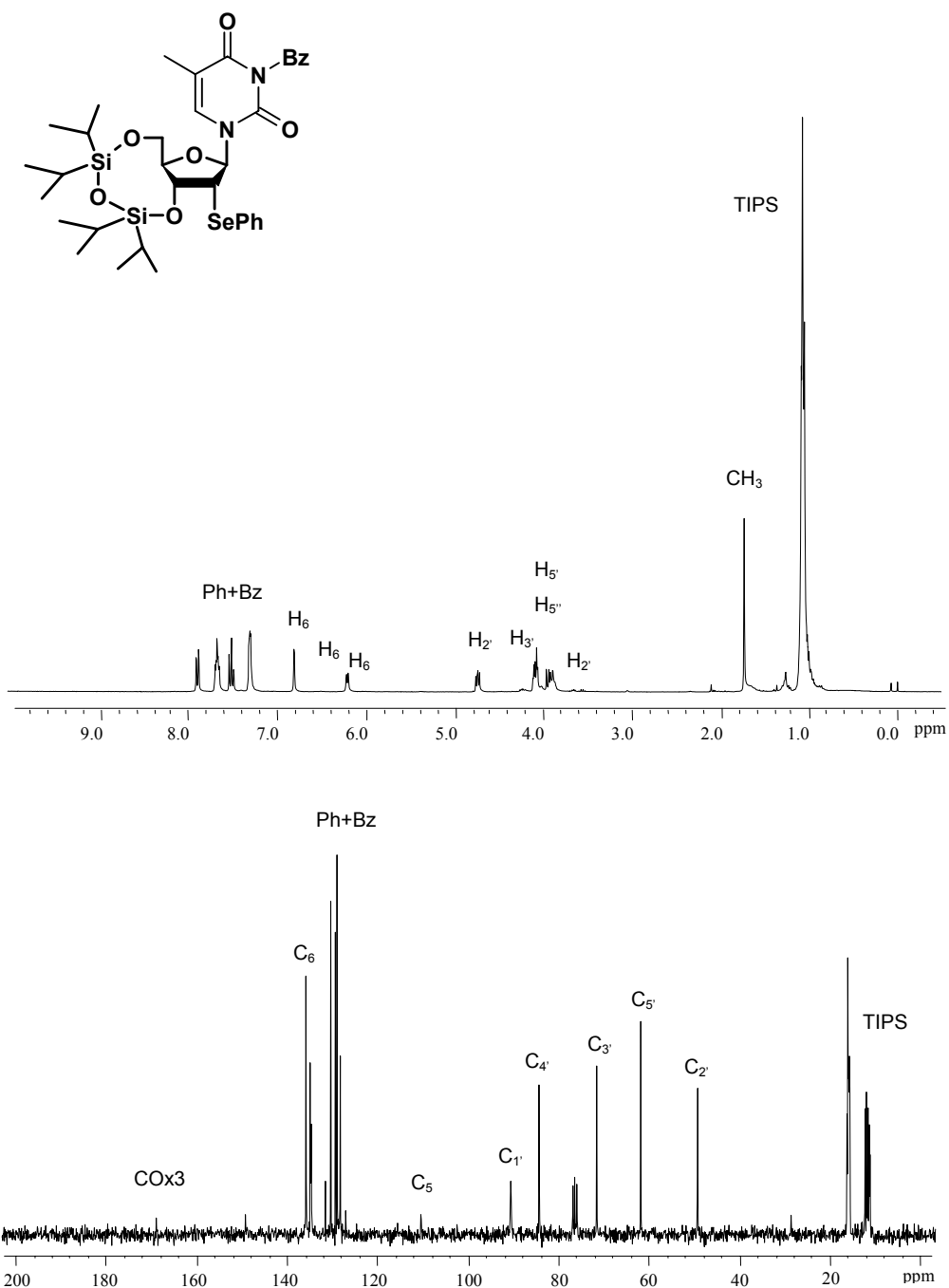
Espectro de RMN de ^1H y ^{13}C del 1-(2-*terc*-butilsufenil-3,5-*O*-(1,1,3,3-tetraiso-propildisiloxano-1,3-diil)- β -*D*-arabino-furanosil)-N 3 -benzoyltimina (36 β).



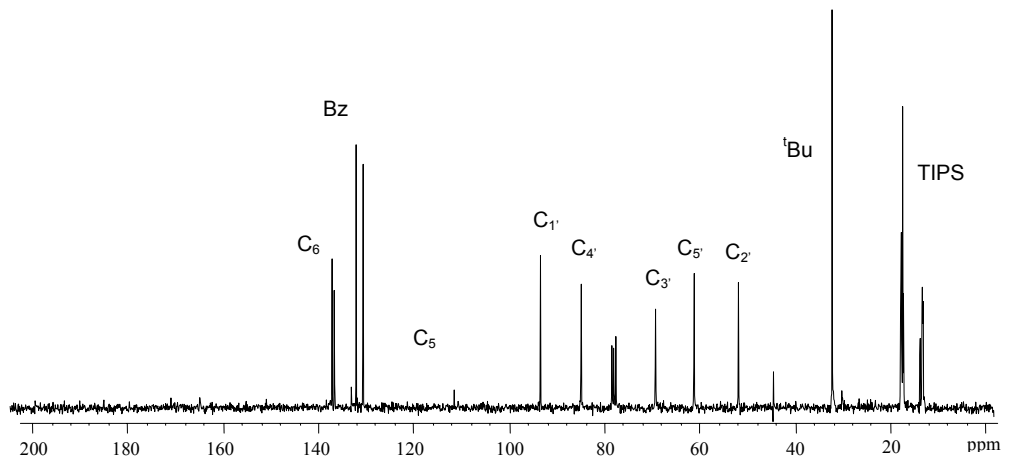
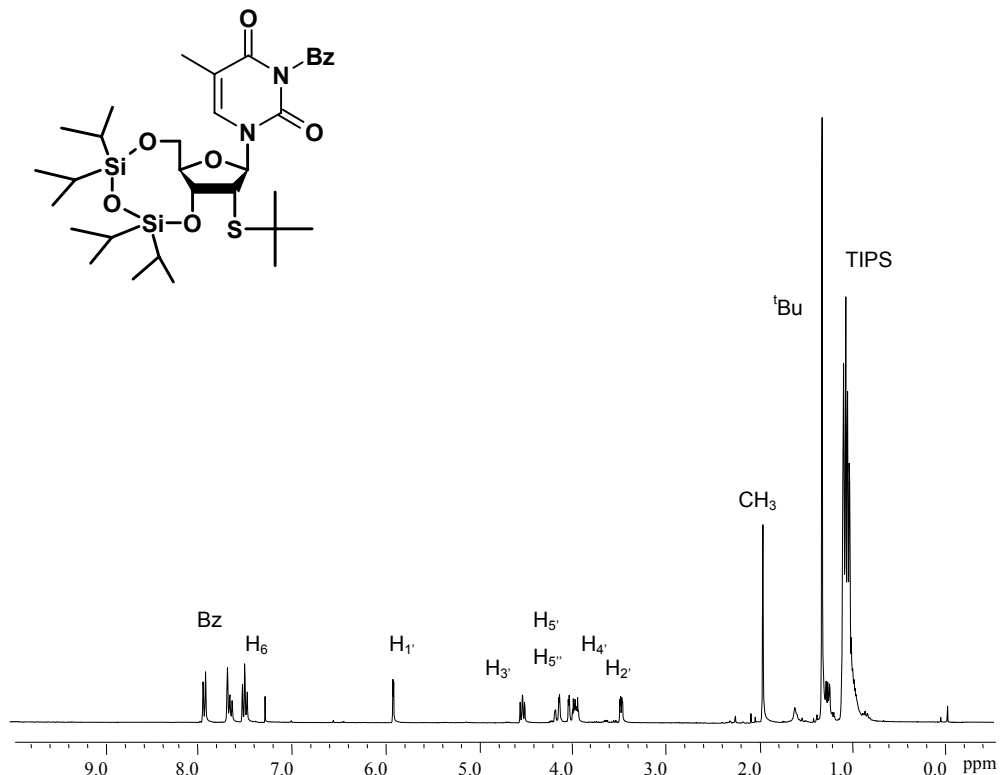
Espectro de RMN de ^1H y ^{13}C del 1-(2-fenilselenil-3,5-O-(1,1,3,3-tetraisopropildisiloxano-1,3-diil)- α,β -D-ribo-furanosil)-N 3 -benzoyltimina (38 α).



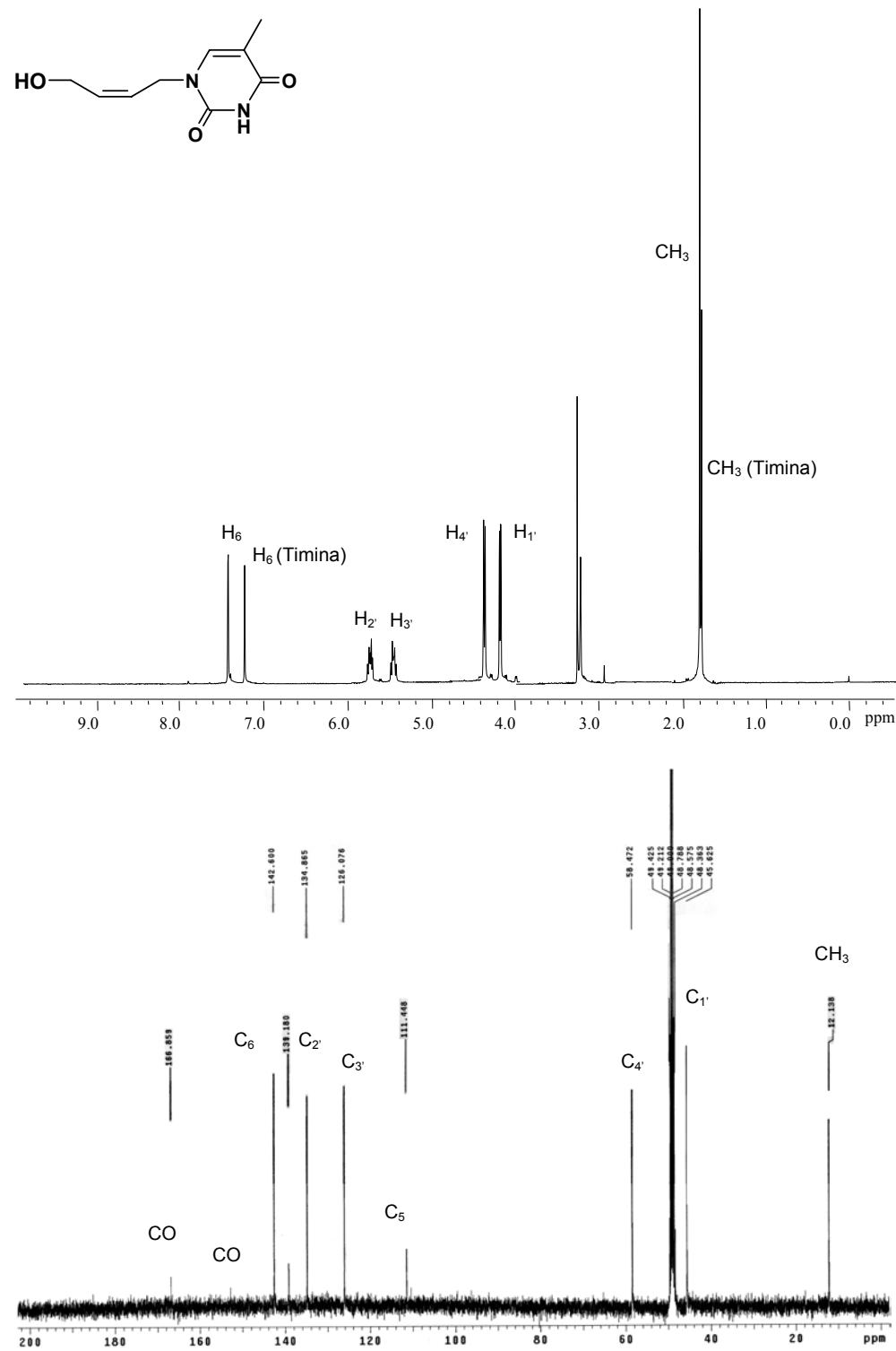
Espectro de RMN de ^1H y ^{13}C del 1-(2-fenilselenil-3,5-O-(1,1,3,3-tetraiso-propildisiloxano-1,3-diil)- α,β -D-ribo-furanosil)-N 3 -benzoyltimina (38 β).



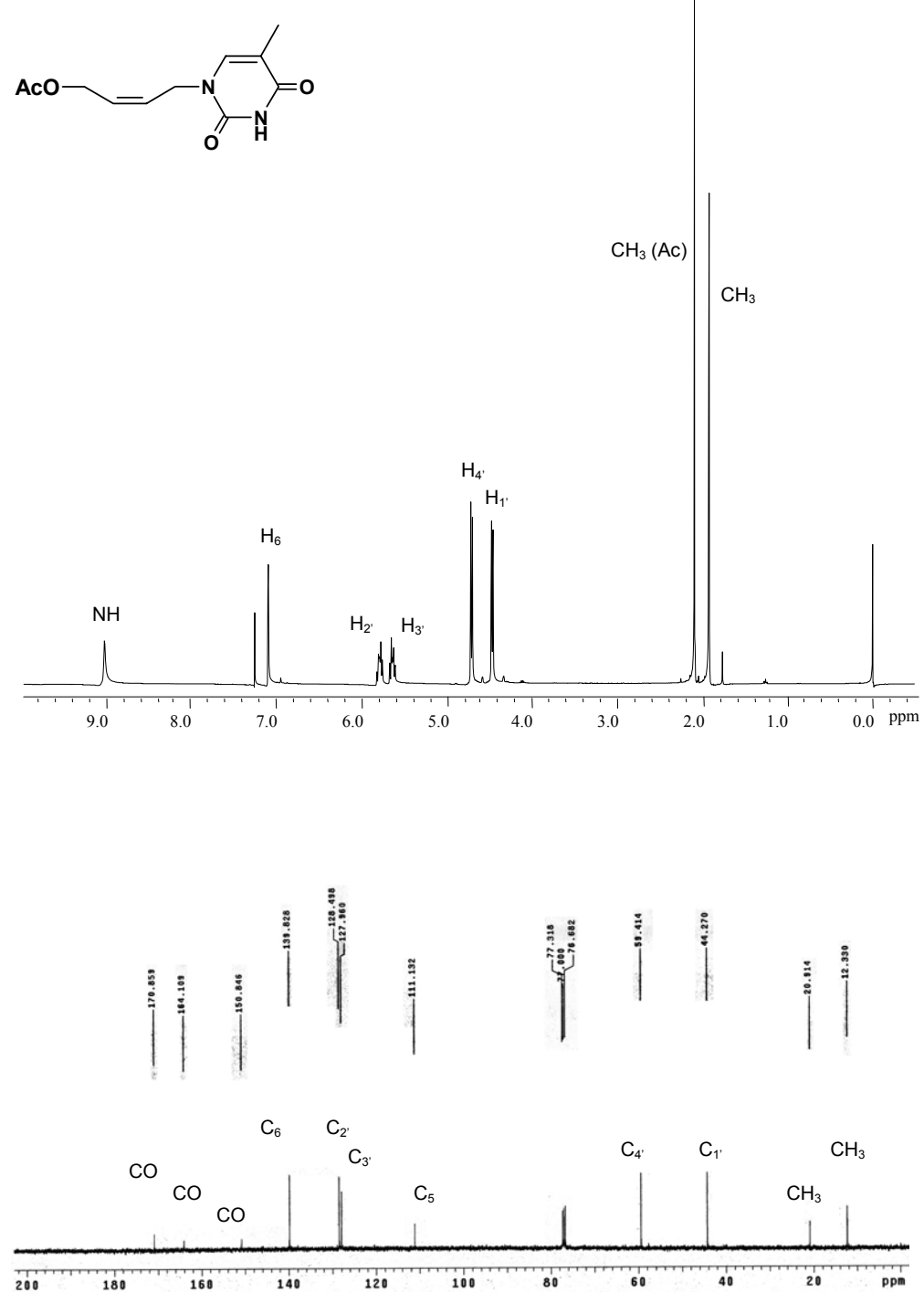
Espectro de RMN de ^1H y ^{13}C 1-(2-*terc*-butylsulfenil-3,5-*O*-(1,1,3,3-tetraiso-propildisiloxano-1,3-diil)- β -*D*-ribo-furanosil)-N³-benzoyltimina (41).



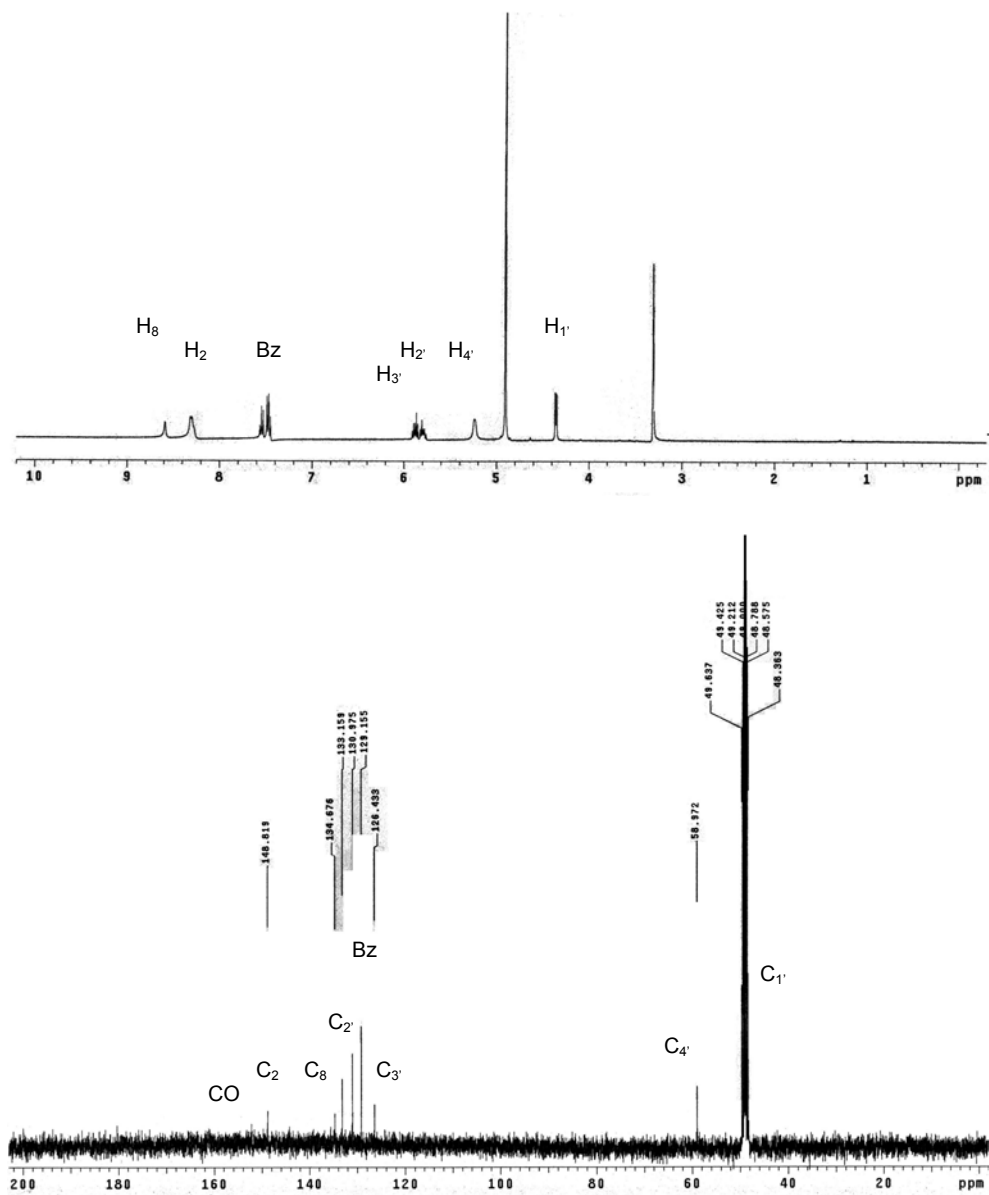
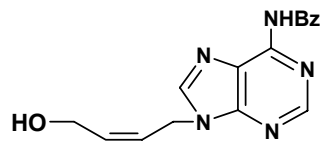
Espectro de RMN de ^1H y ^{13}C de 1'-(2'Z)-2'-buten-4'-ol-1'-il-timina (75Z).



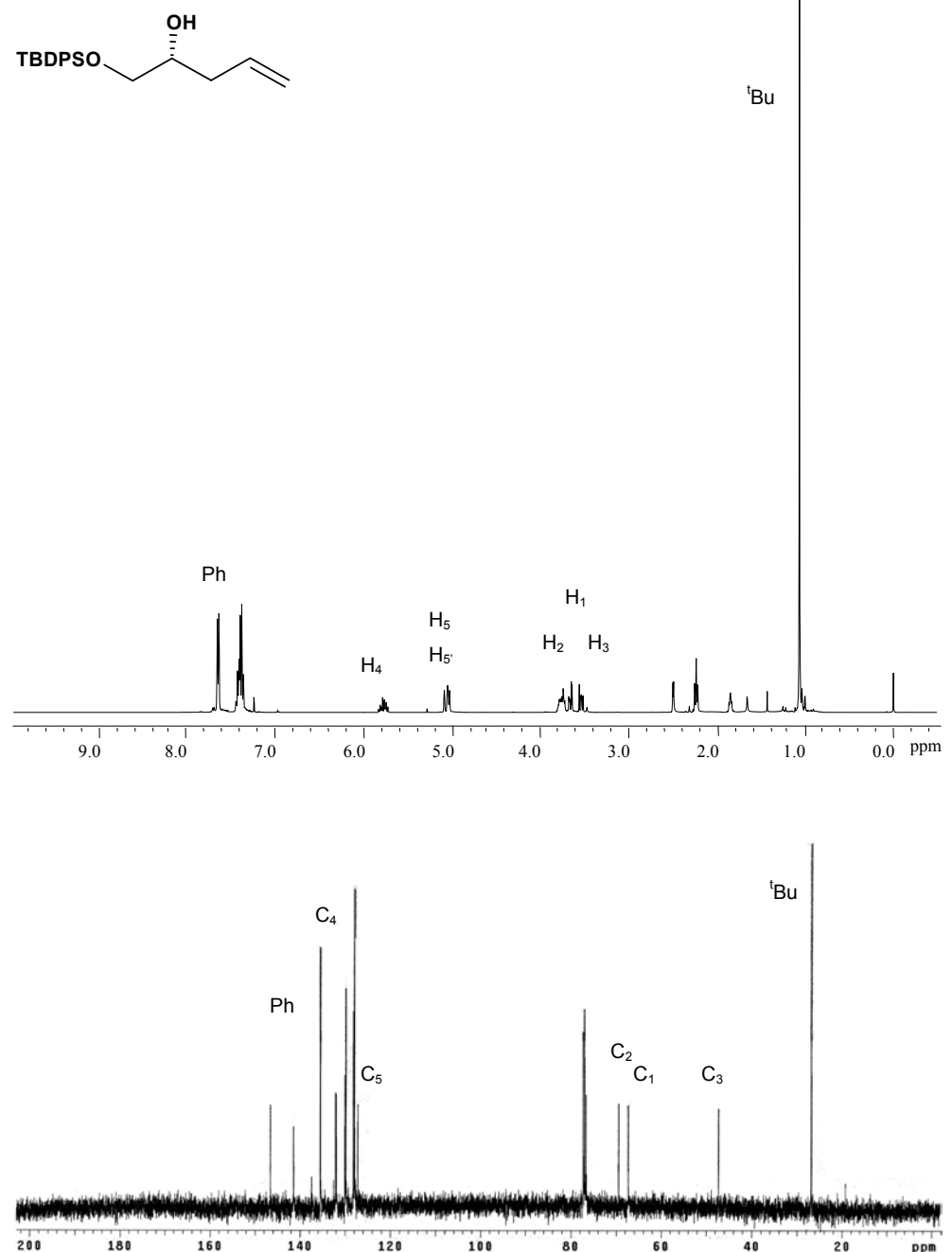
Espectro de RMN de ^1H y ^{13}C de 1'-(2'Z)-2'-buten-4'-acetoxi-1'-il-timina (76Z).



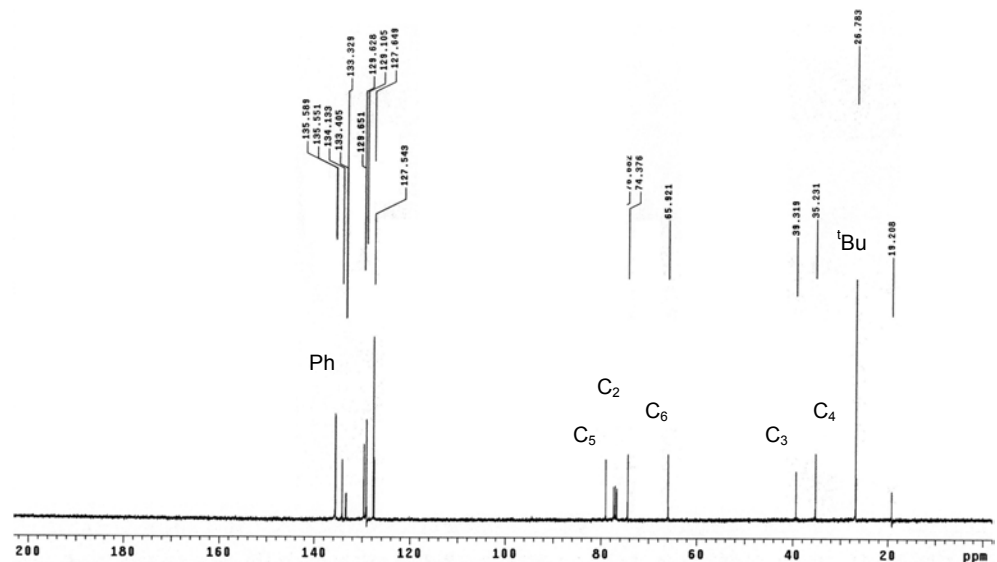
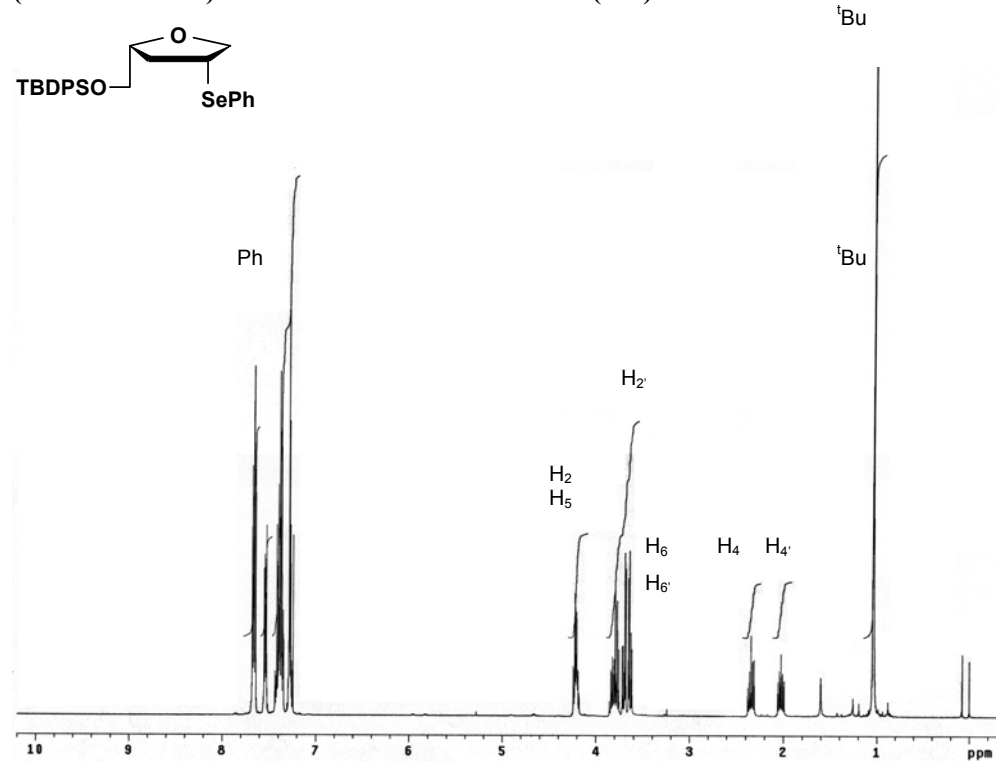
Espectro de RMN de ^1H y ^{13}C del 1'-(2'Z)-2'-buten-4'-ol-1'-il]-N⁶-benzoyl-adenina (78Z).



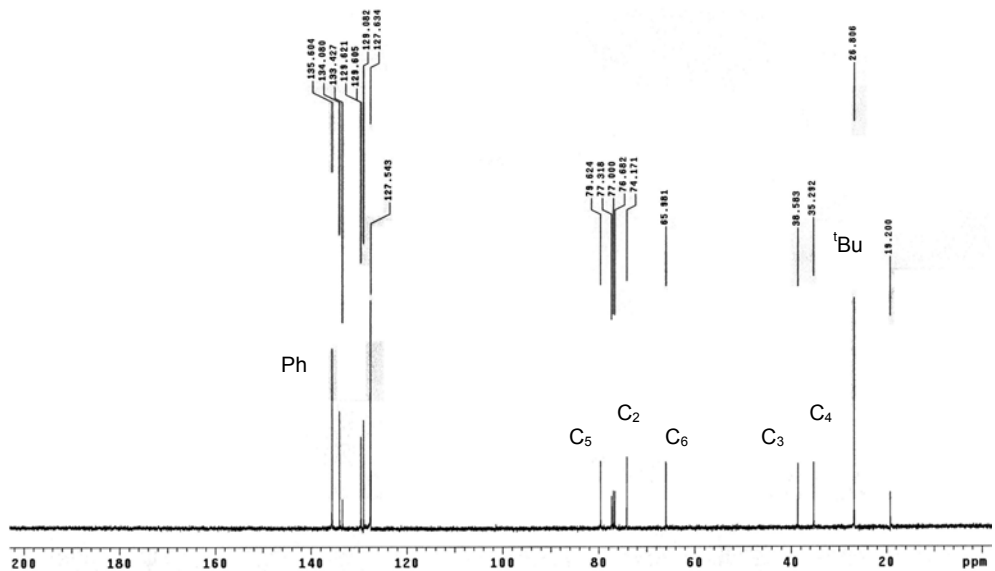
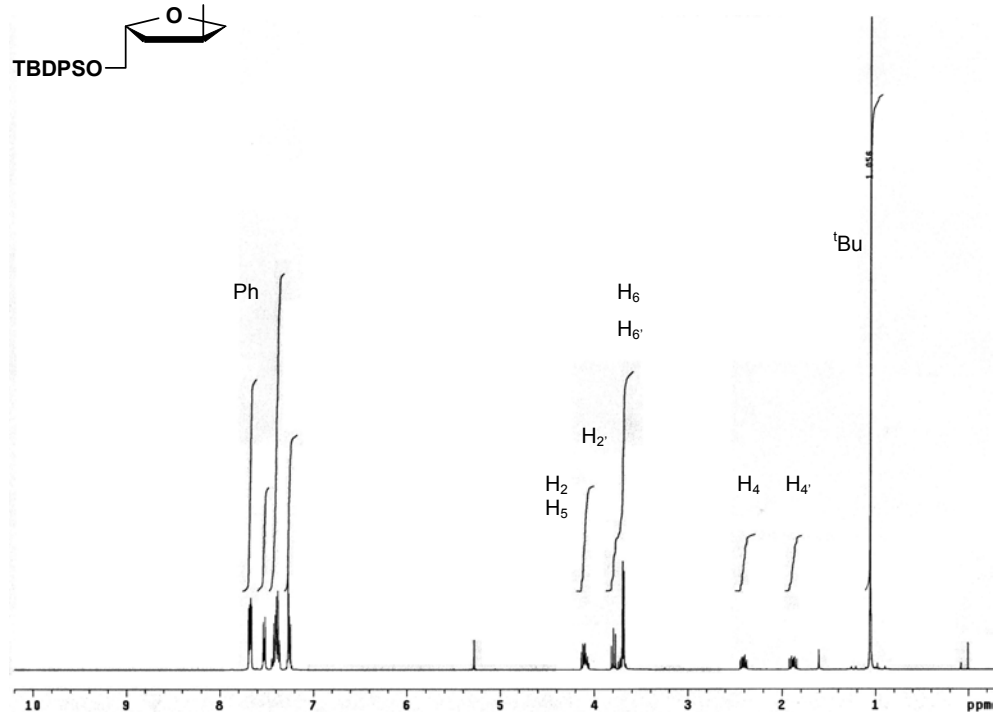
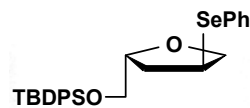
Espectro de RMN de ^1H y ^{13}C de (*R*)-1-*O*-(terc-butildifenilsilil)-4-penten-1,2-diol (81).



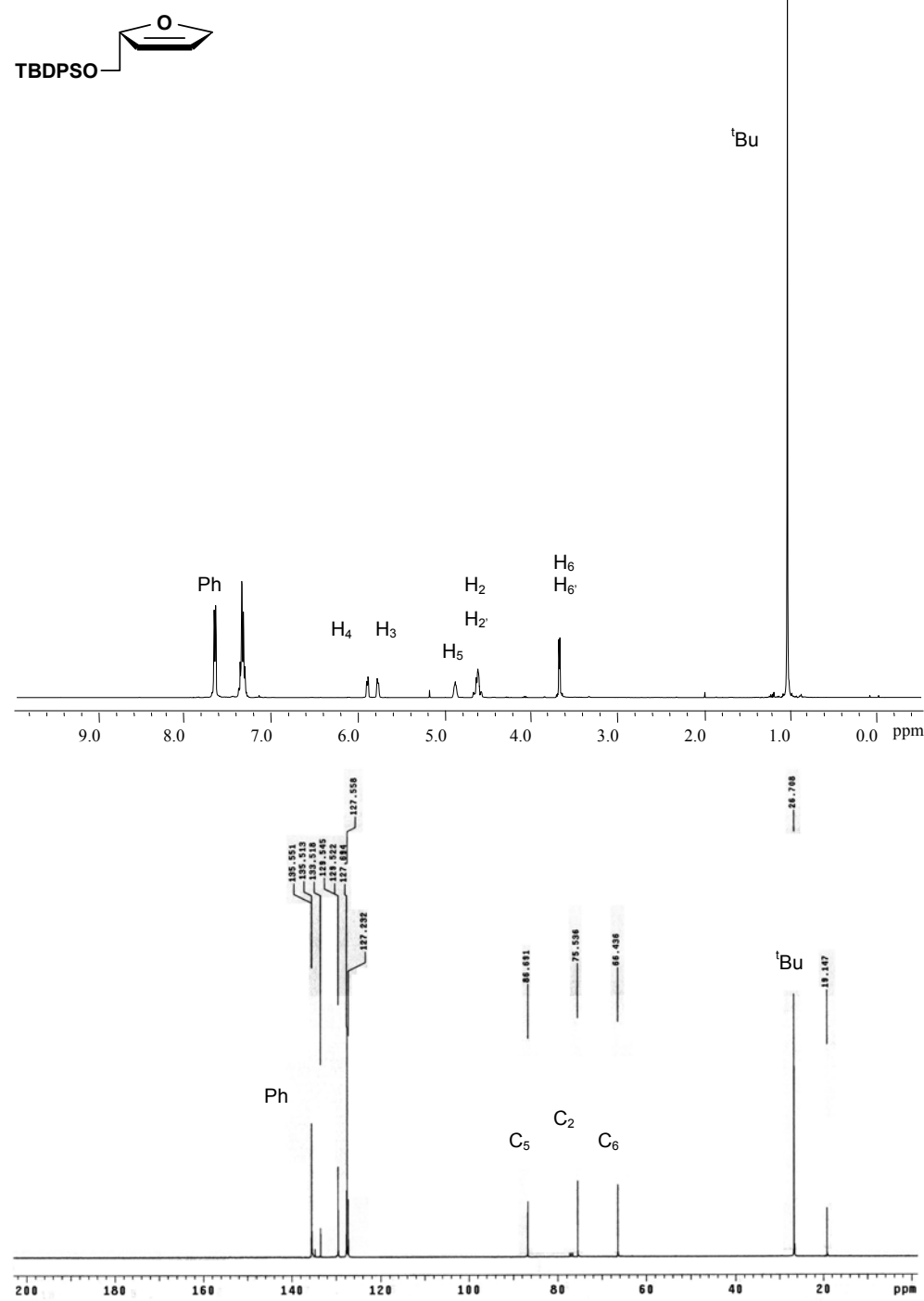
Espectro de RMN de ^1H y ^{13}C de (3*R*,5*R*)-3-fenilselenenil-5-(tercbutildifenil)sililoximetiltetra-hidrofurano (82c)



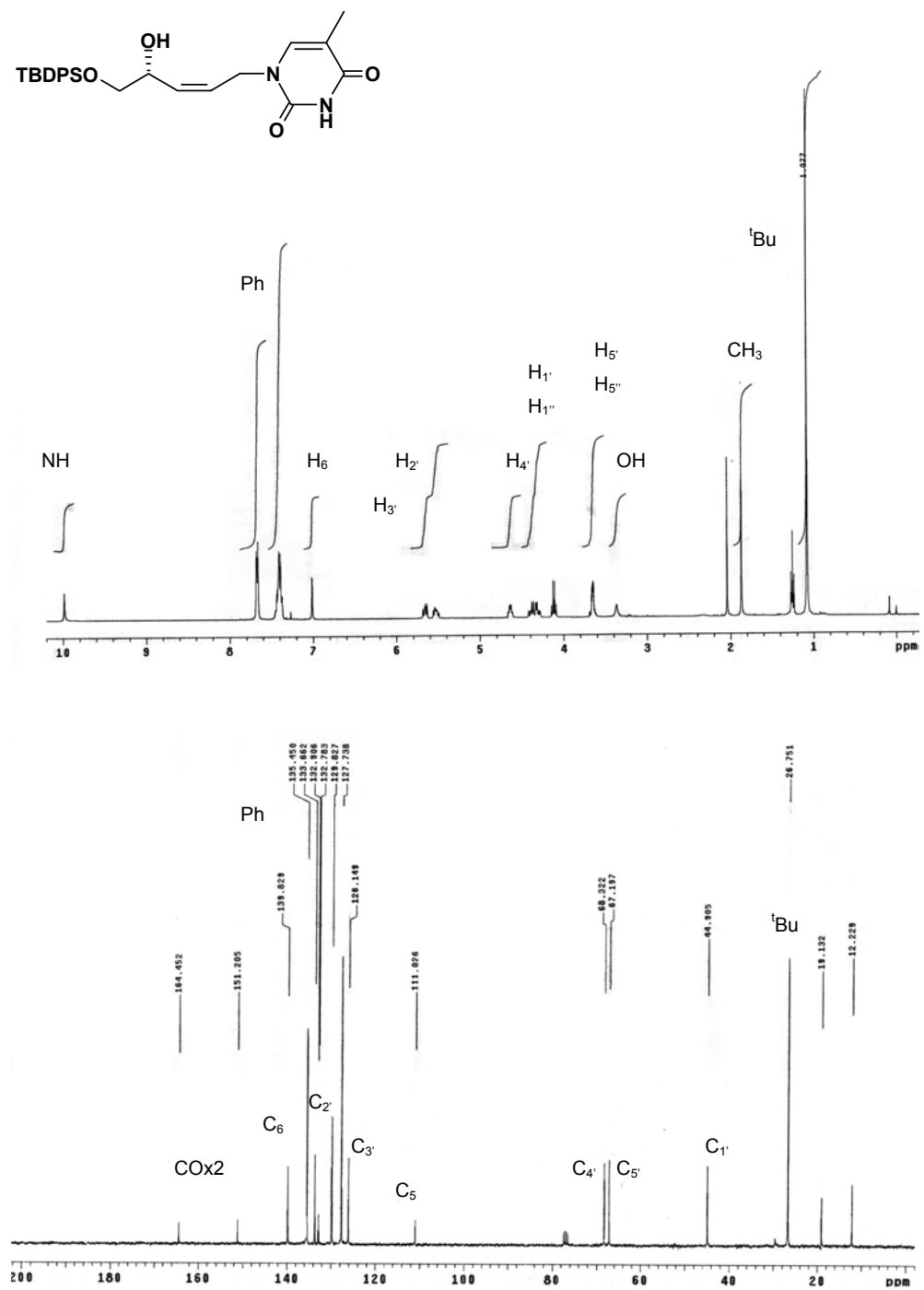
Espectro de RMN de ^1H y ^{13}C de (3S,5R)-3-fenilselenenil-5-(tercbutildifenil)sililoximetiltetrahidro-furano (82t).



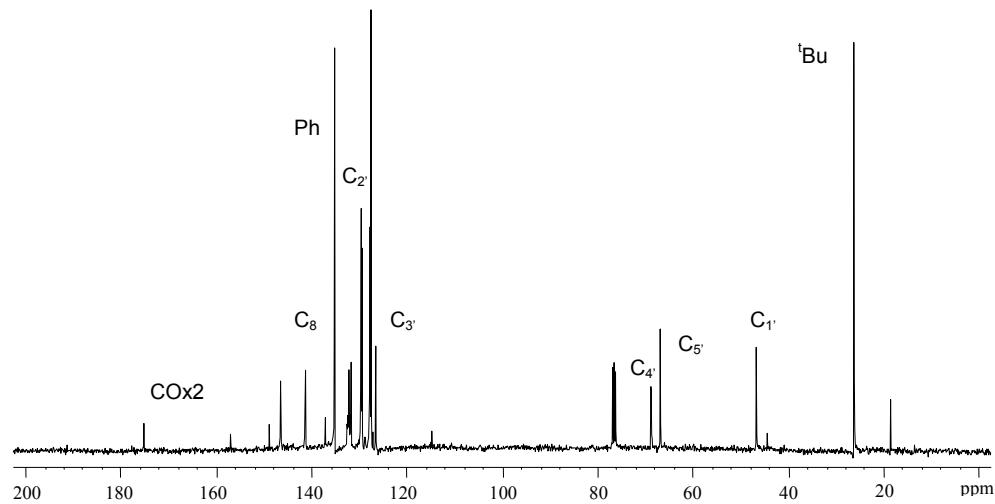
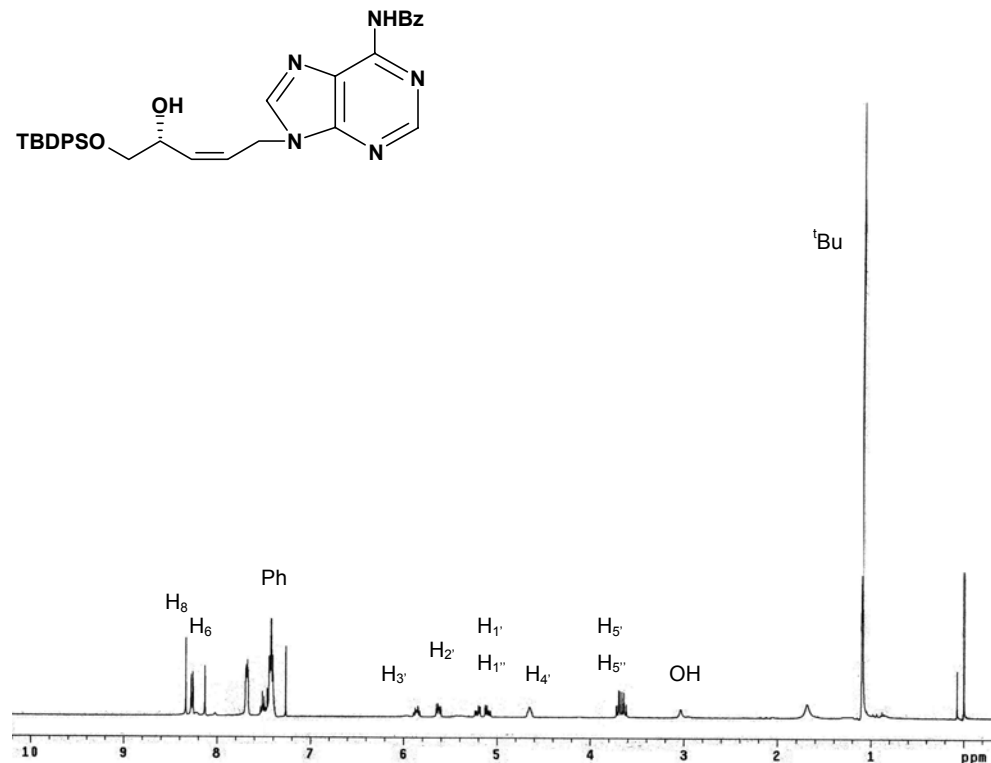
Espectro de RMN de ^1H y ^{13}C de (*5R*)-5-(*terc*-butildifenil)sililoximetil-2,5-dihidrofurano (83).



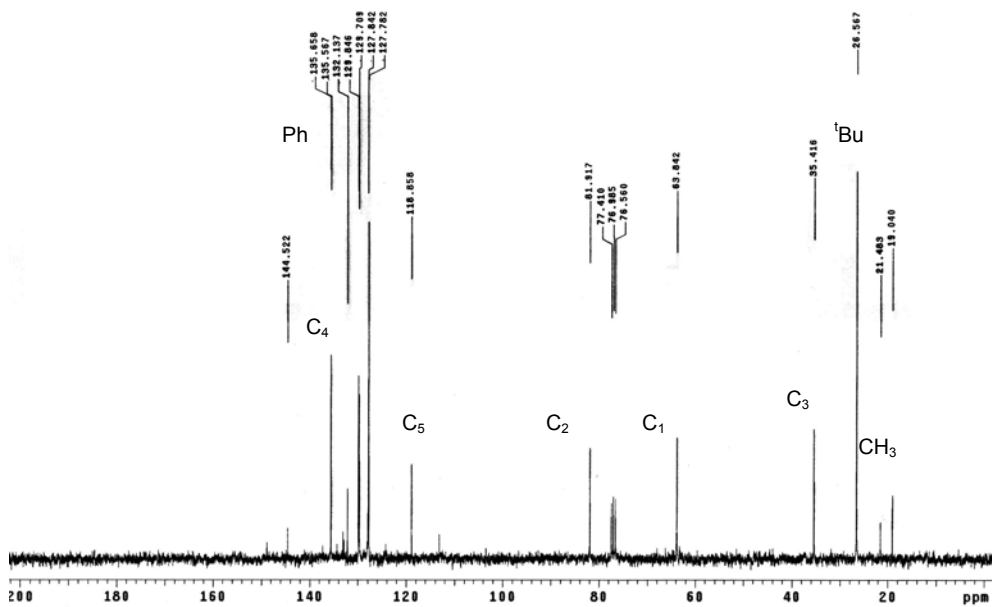
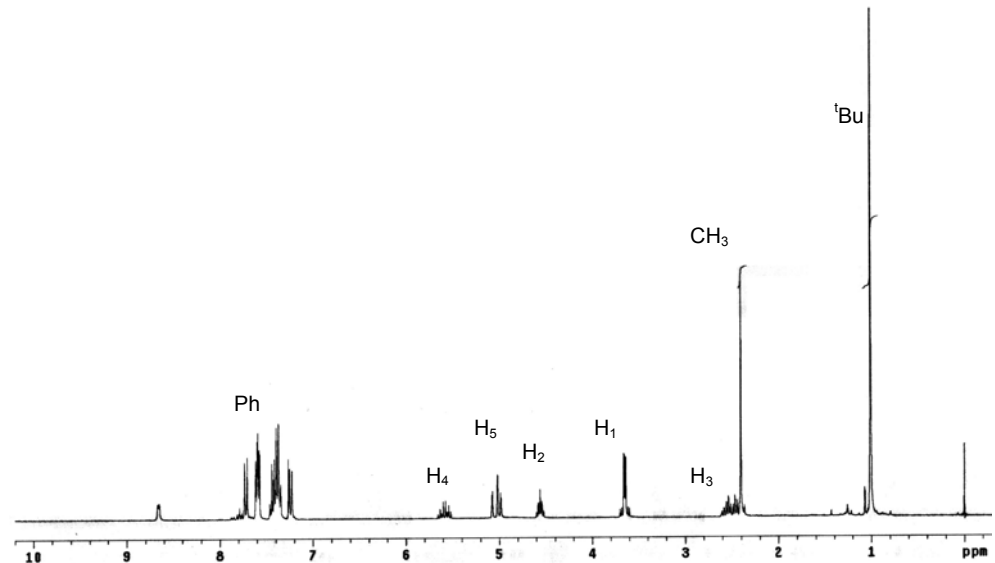
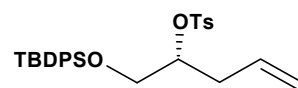
Espectro de RMN de ^1H y ^{13}C de ($4'\text{R}$)-1'($5'$ -O-terc-butildifenilsilil-2'-penten-4',5'-diol-1'-il)-timina (84).



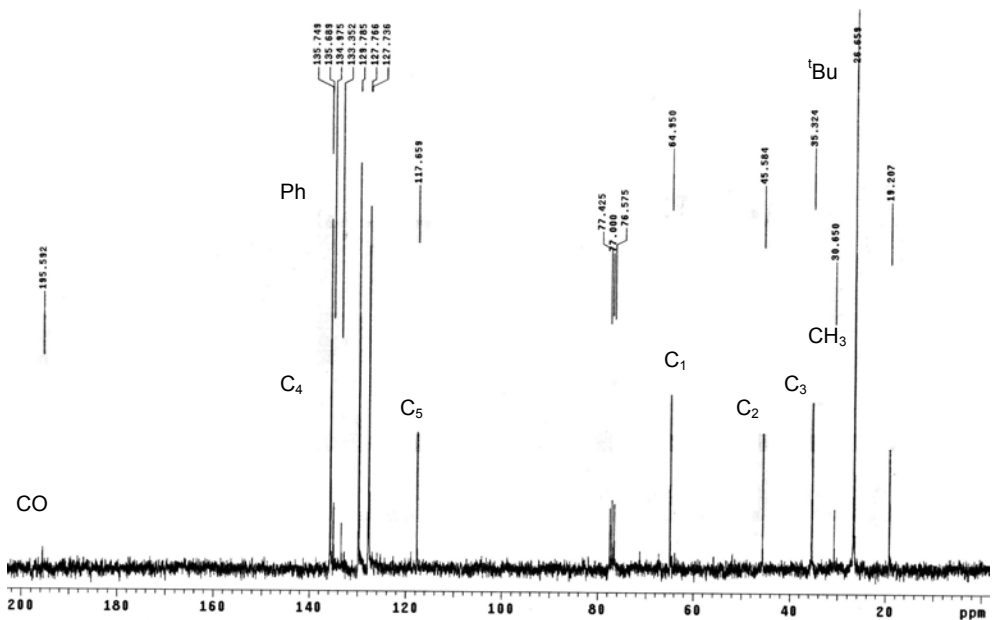
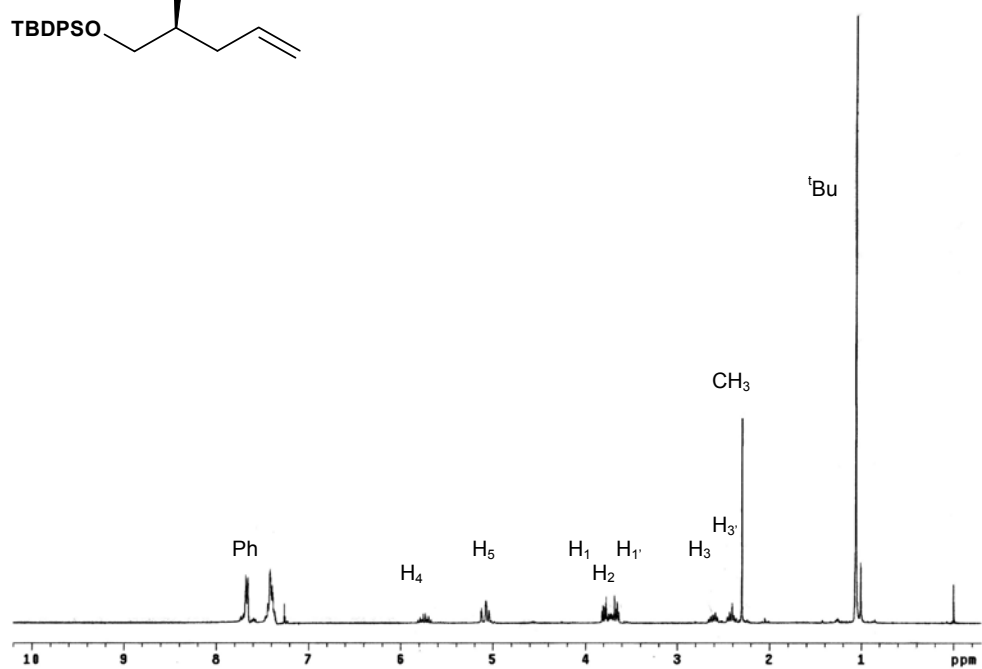
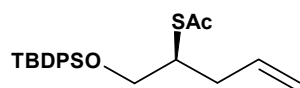
Espectro de RMN de ^1H y ^{13}C de ($4'R$)-1'($5'$ -O-*terc*-butildifenilsilil-2'-penten-4',5'-diol-1'-yl)-N 6 -benzoyl -adenina (85).



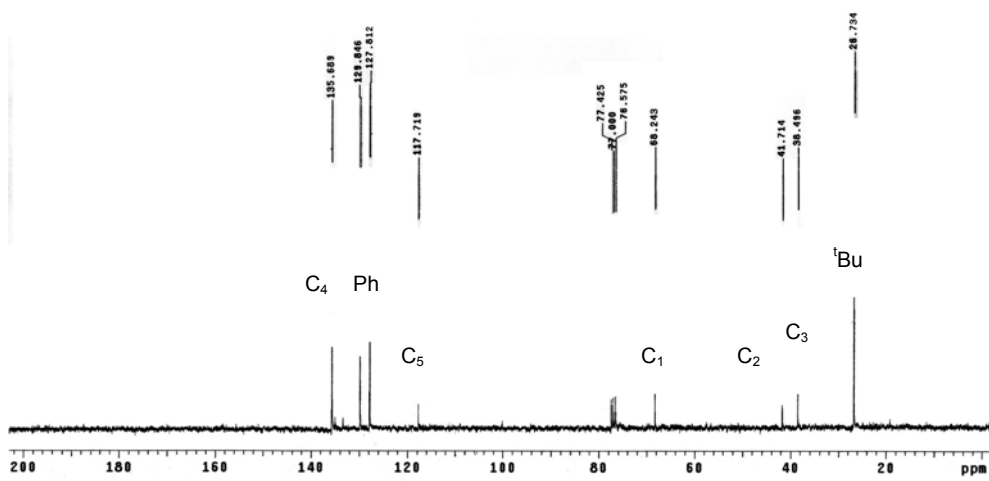
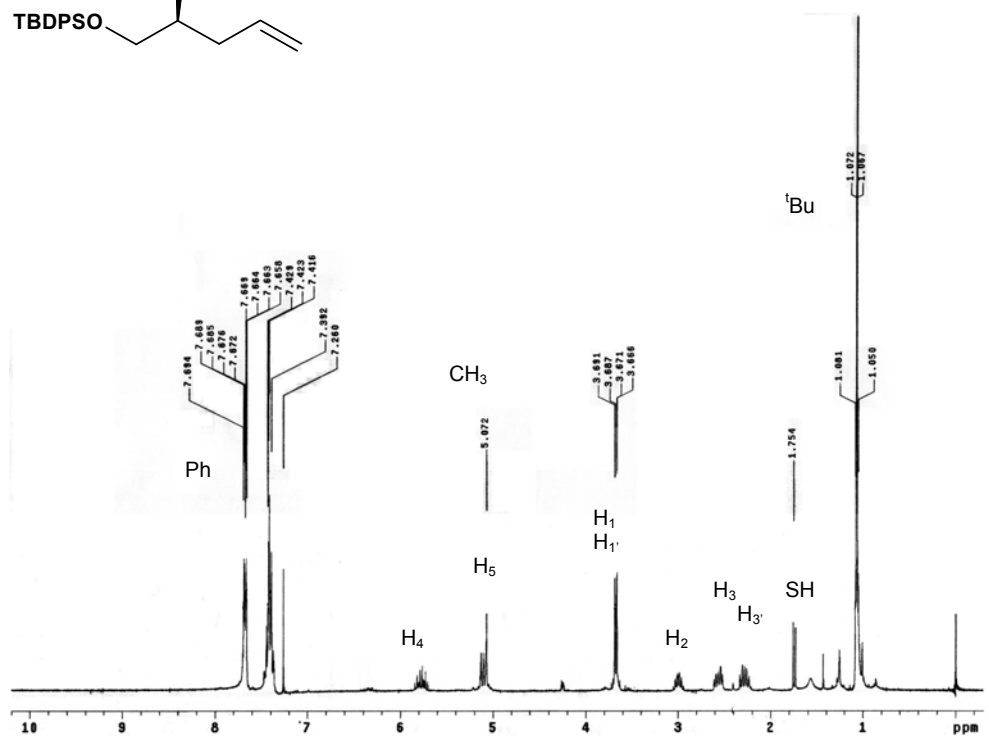
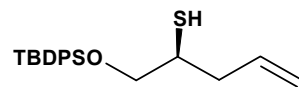
Síntesis de (R)-1-O-(terc-butil-difenilsilil)-2-O-(p-toluensulfonil)-4-penten-1,2-diol (89).



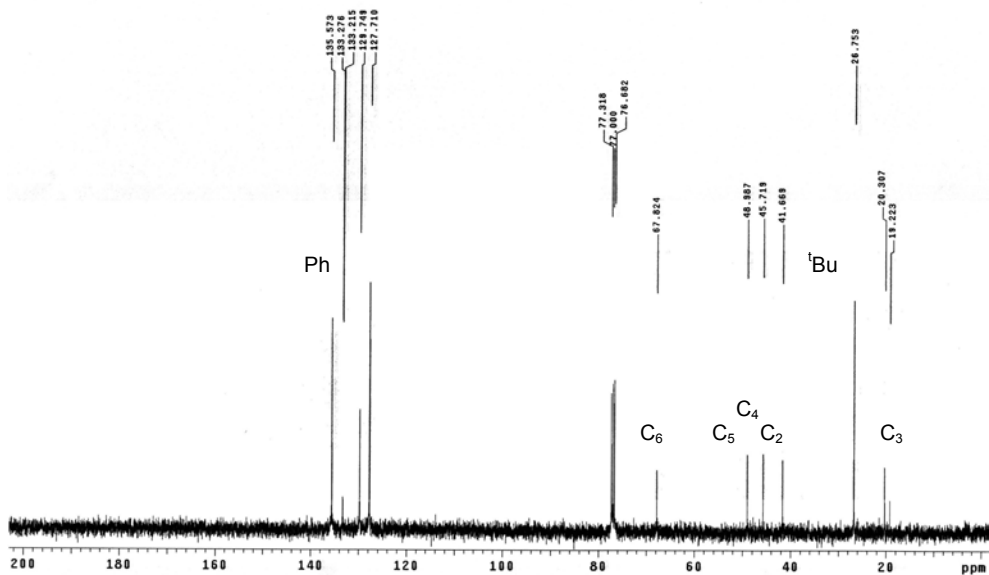
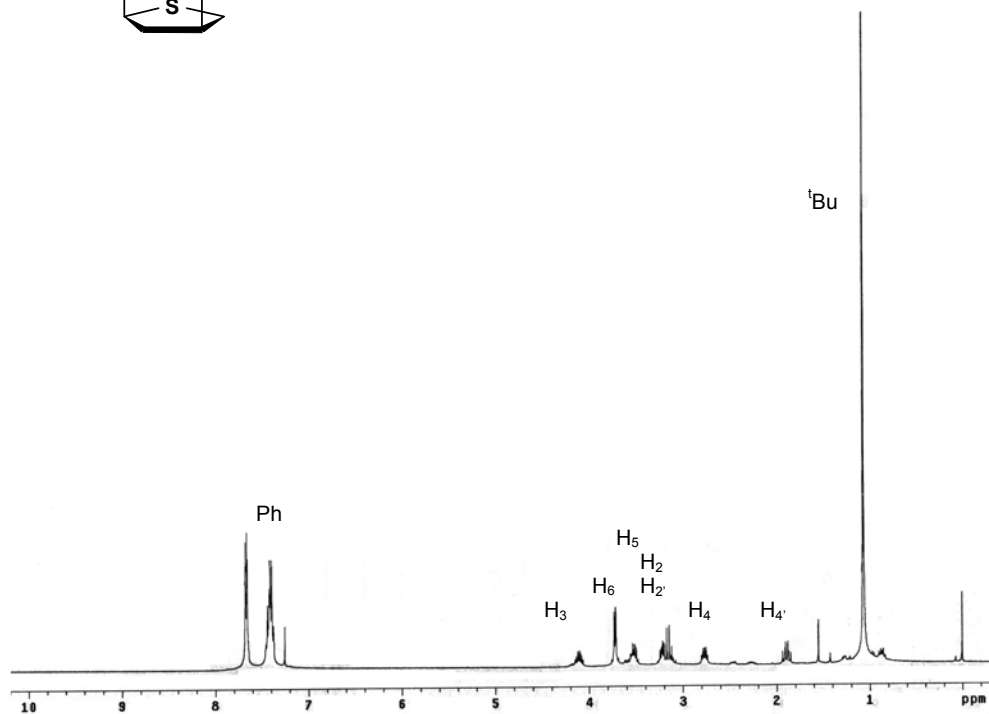
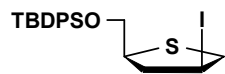
Espectro de RMN de ^1H y ^{13}C de (S)-2-S-Acetyl-1-O-(tercbutildifenilsilil)-2-mercaptop-4-penten-1-ol (90)



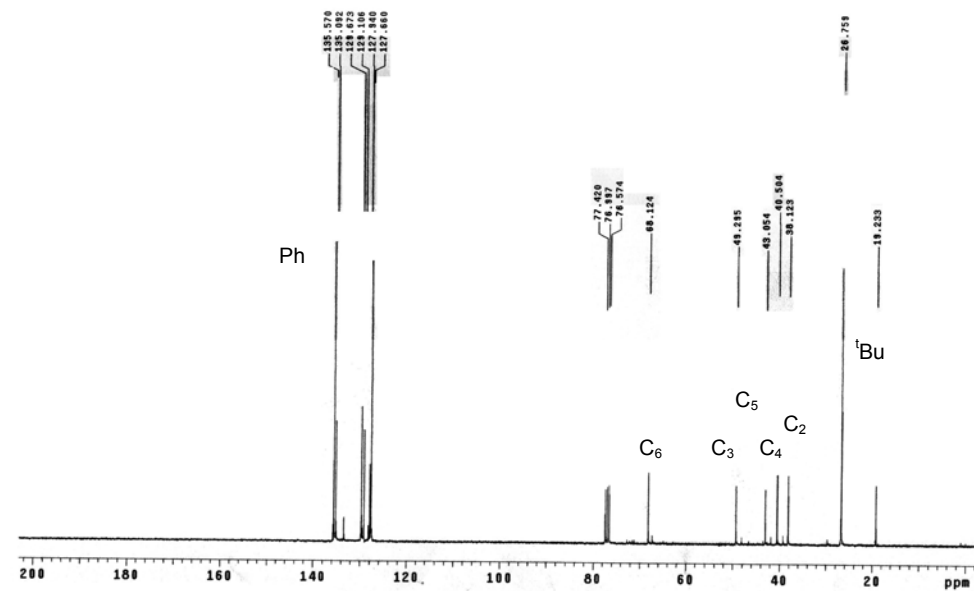
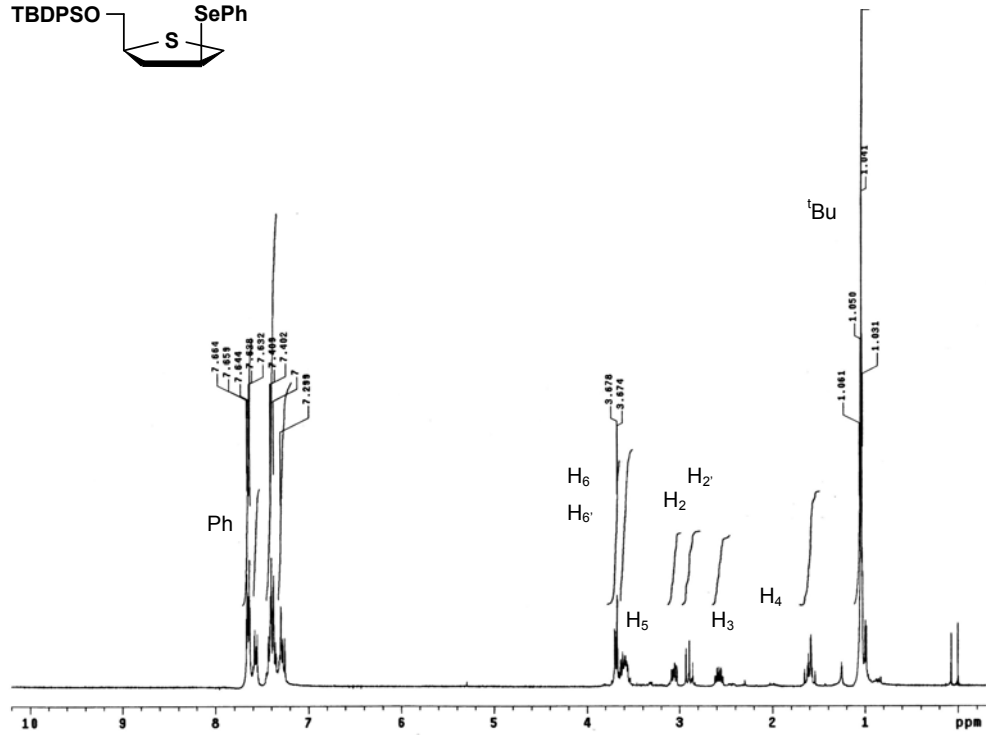
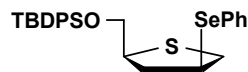
Espectro de RMN de ^1H y ^{13}C de (S)-1-*O*-(terc-butil-difenilsilil)-2-mercaptop-4-penten-1-ol (91)



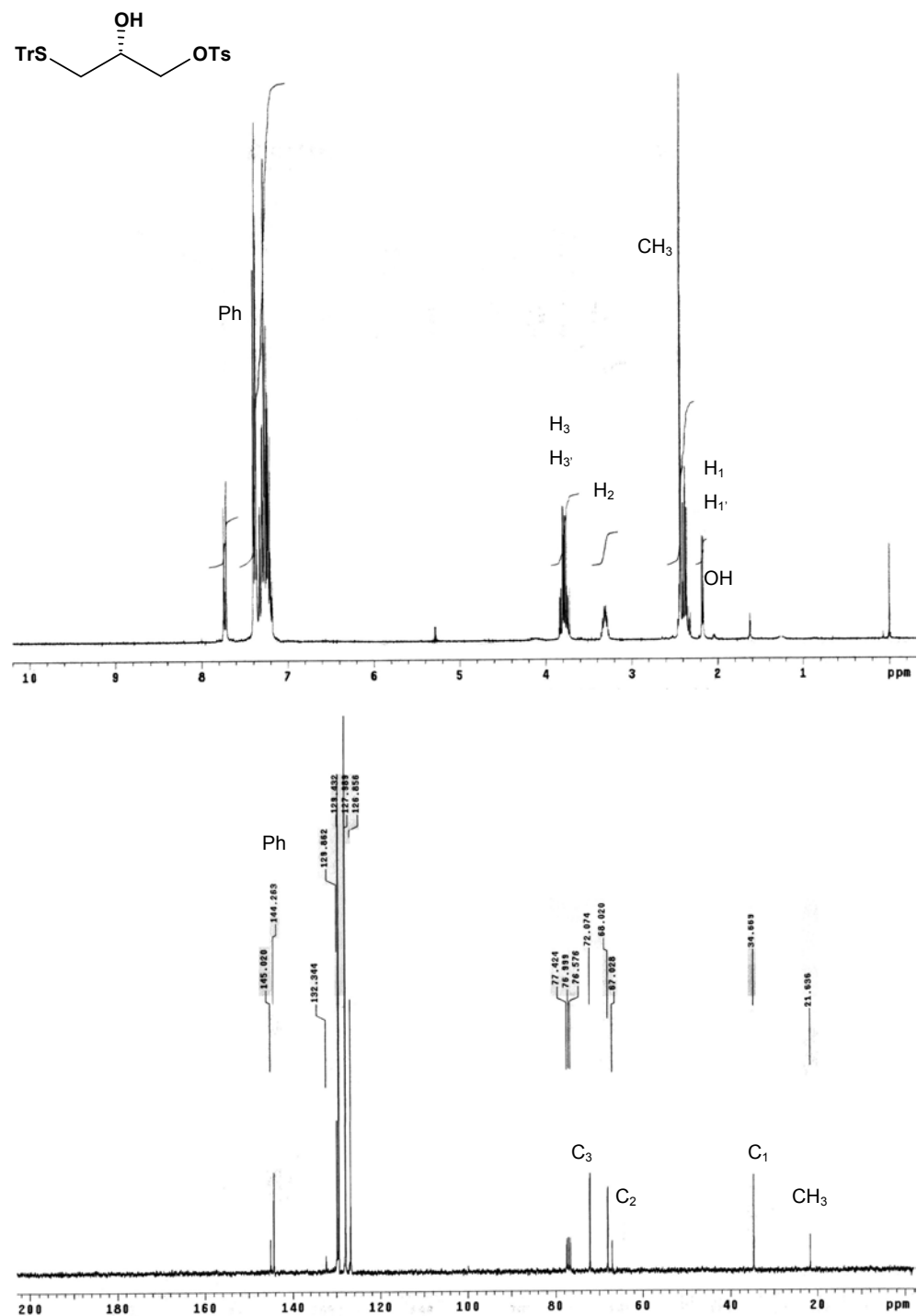
Espectro de RMN de ^1H y ^{13}C de (3S,5S)-[(5-*terc*-butildifenilsilil)hidroximetil]-3-yodo-tetrahidrotiotifeno (93)



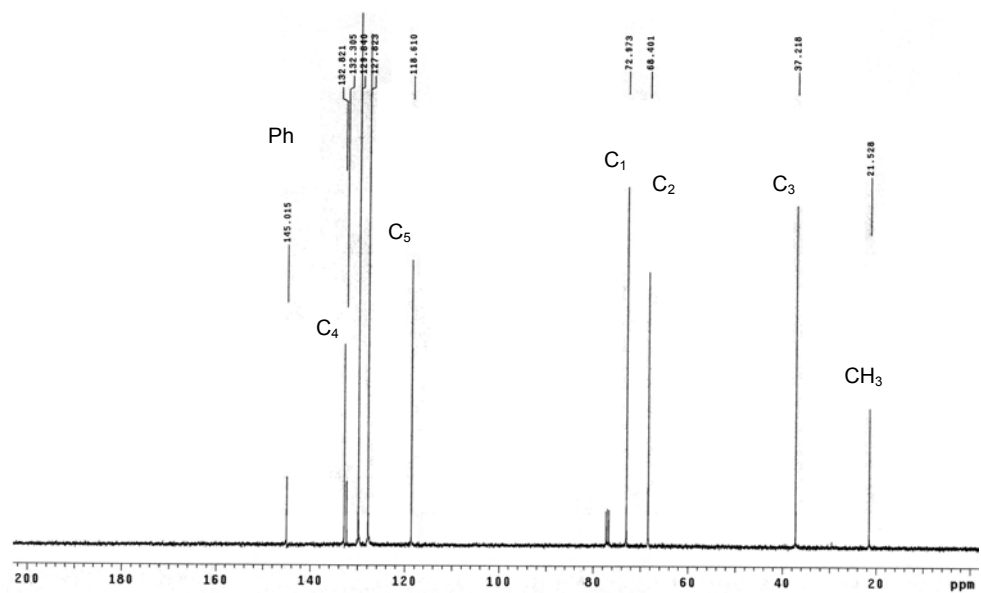
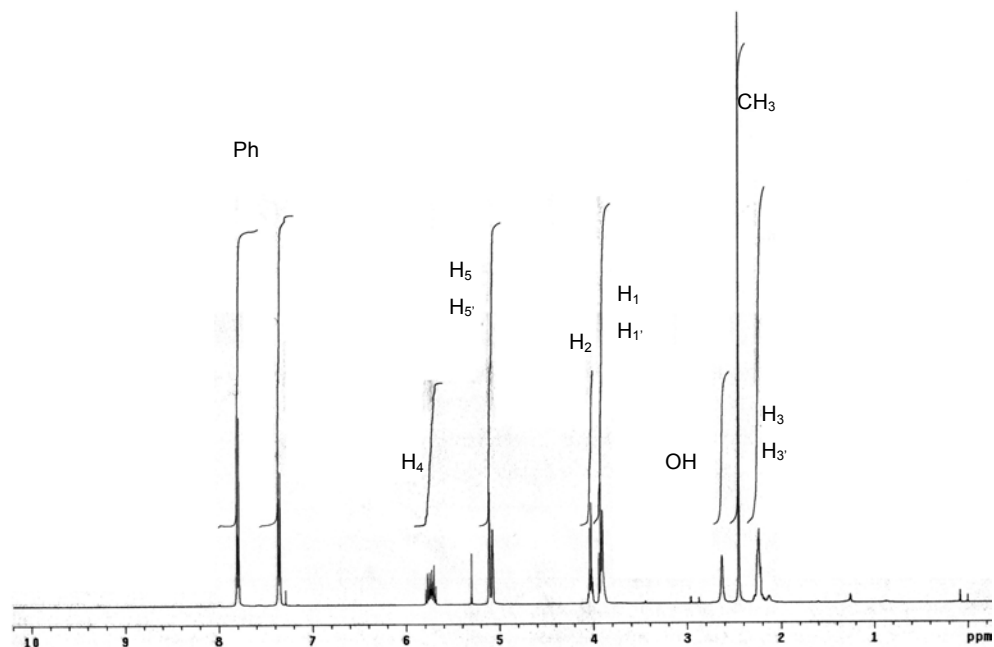
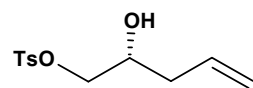
spectro de RMN de ^1H y ^{13}C de (3S,5S)-[(5-*terc*-butildifenilsilil)hidroximetil]-3-fenilselenenil-tetrahidrotiofeno (96)



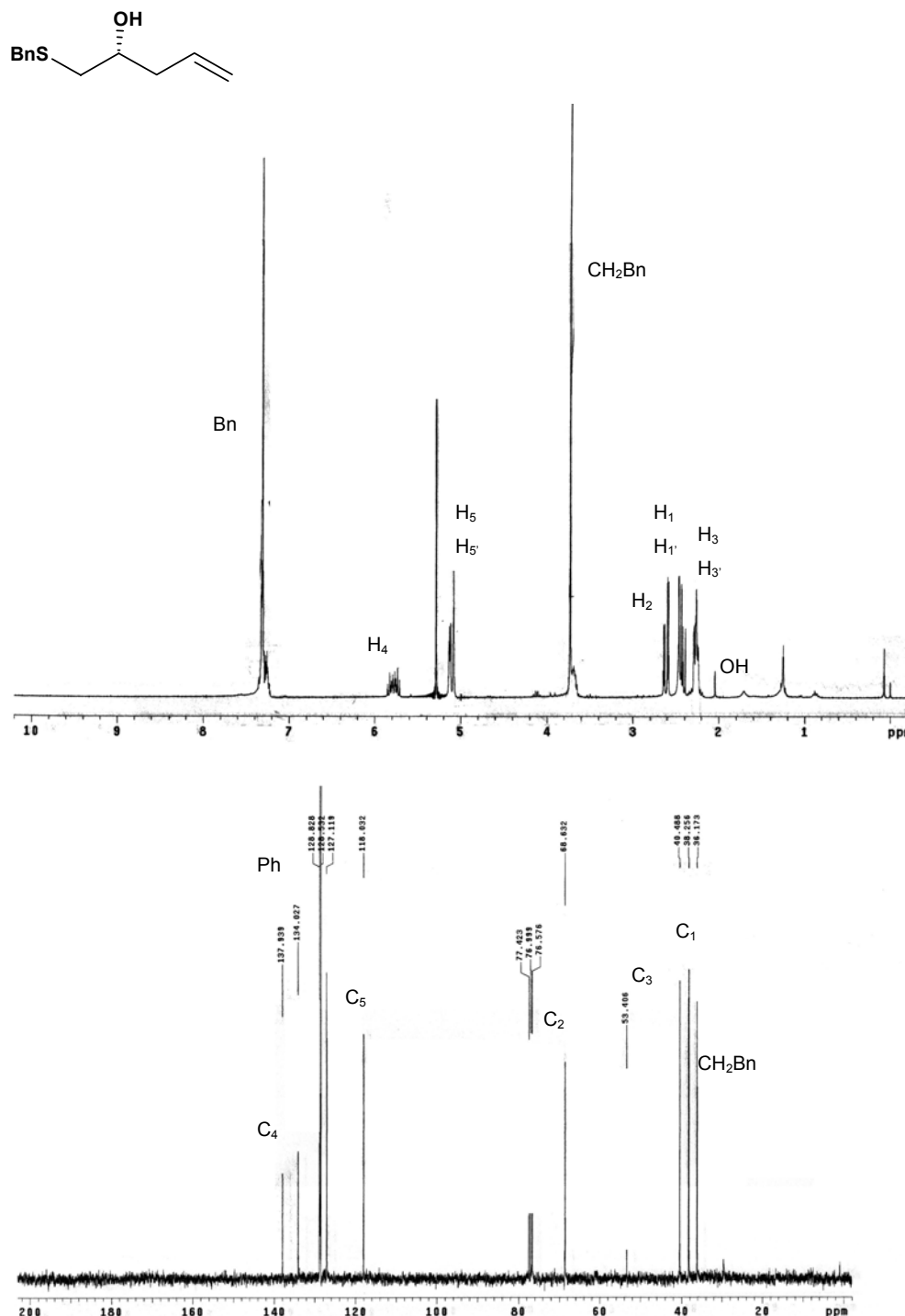
**Espectro de RMN de ^1H y ^{13}C del (R)-1-tritilmercaptan-3-O-tosil-propan-2-ol.
(99).**

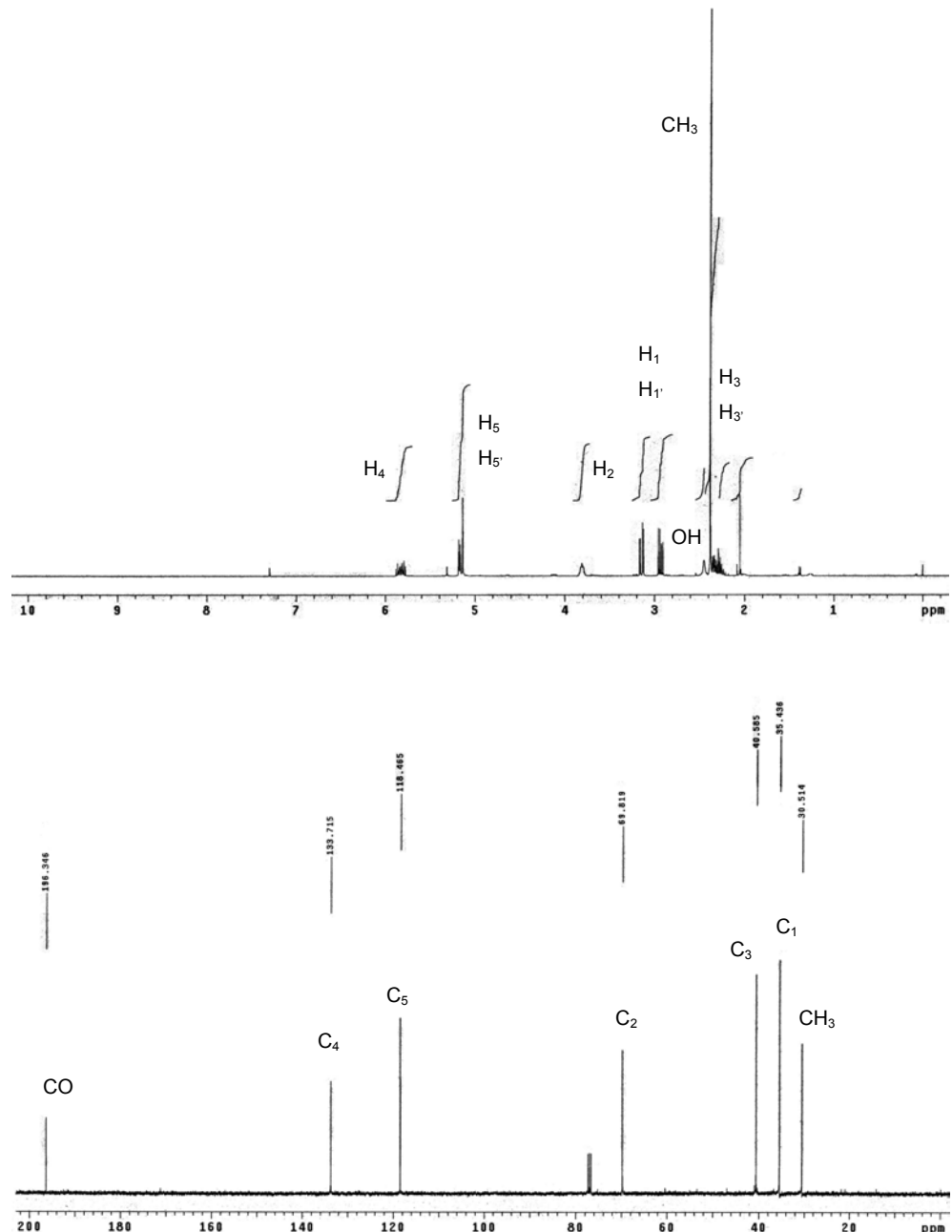
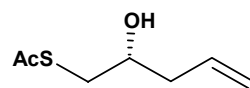


Síntesis de (R)-1-O-tosil-4-penten-2-ol (105).

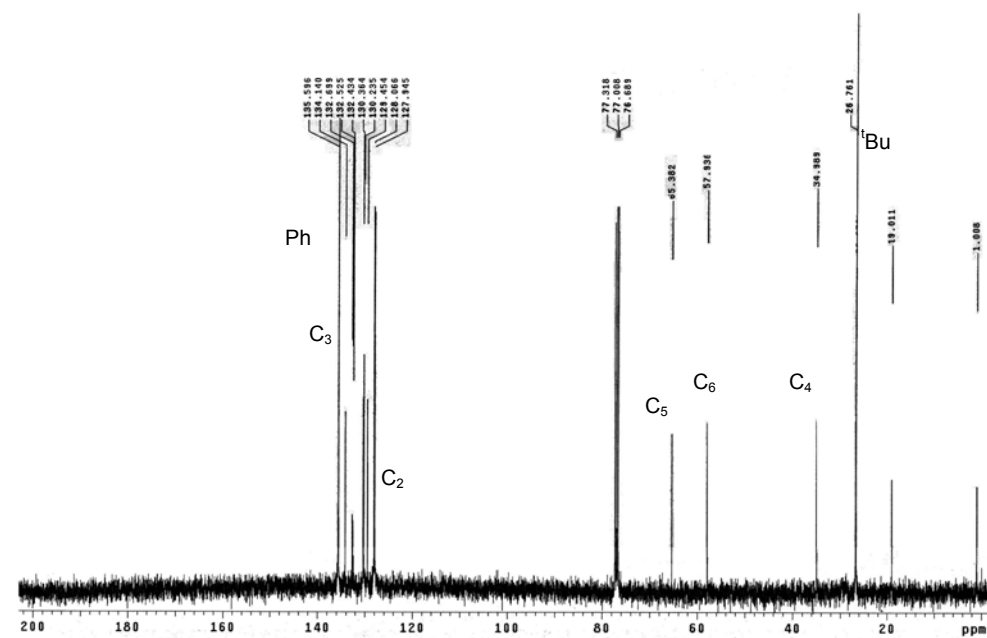
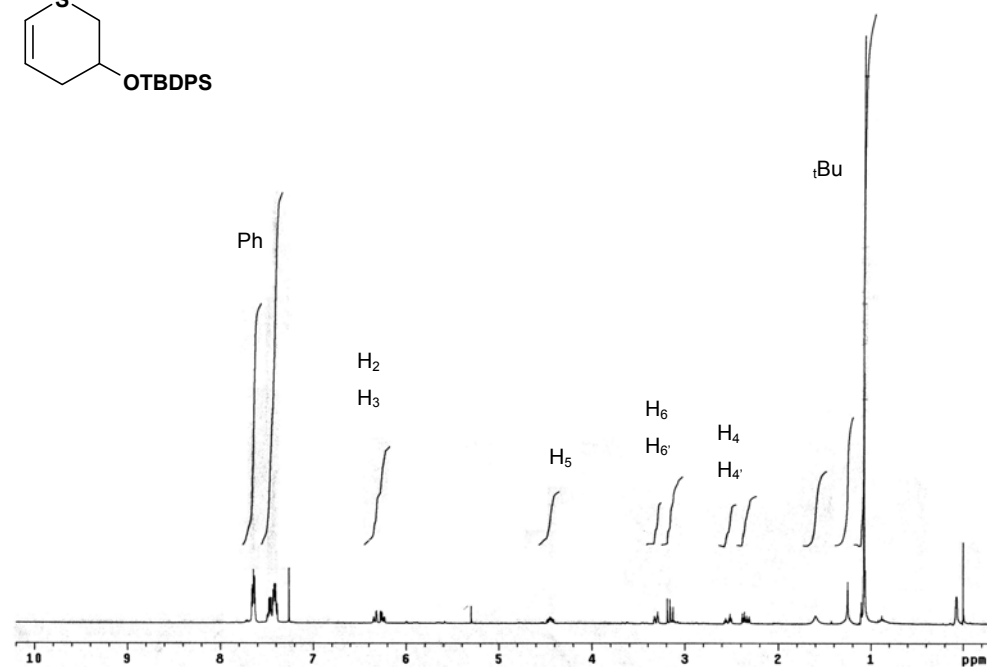
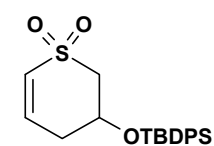


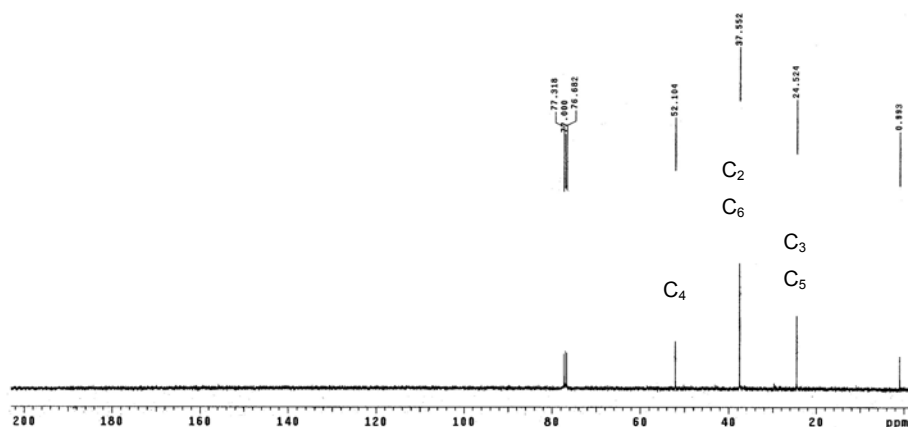
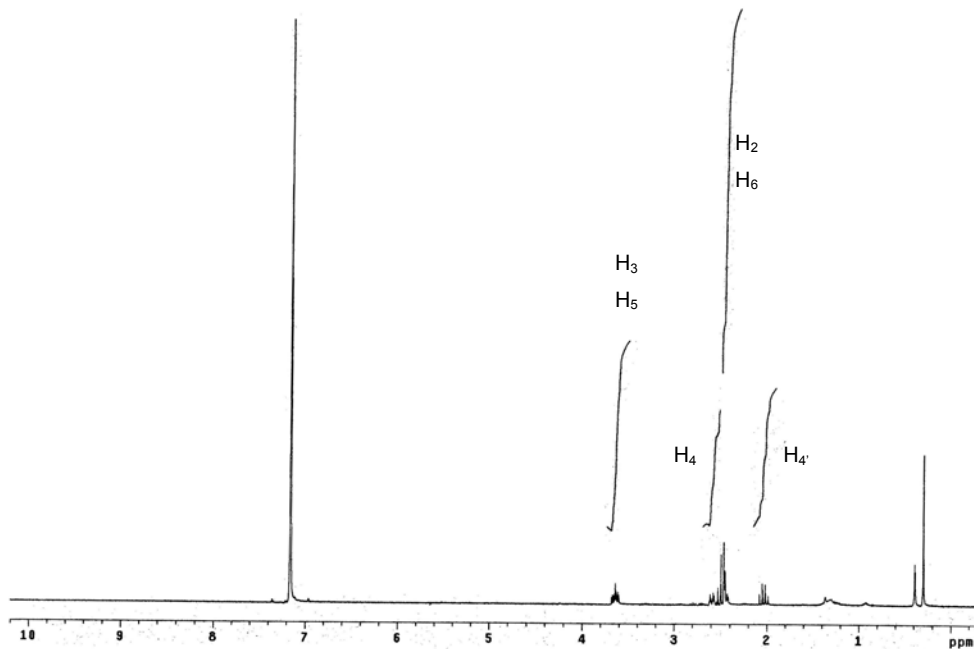
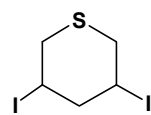
Espectro de RMN de ^1H y ^{13}C de (R)-1-S-tiobencil-4-penten-2-ol (108).



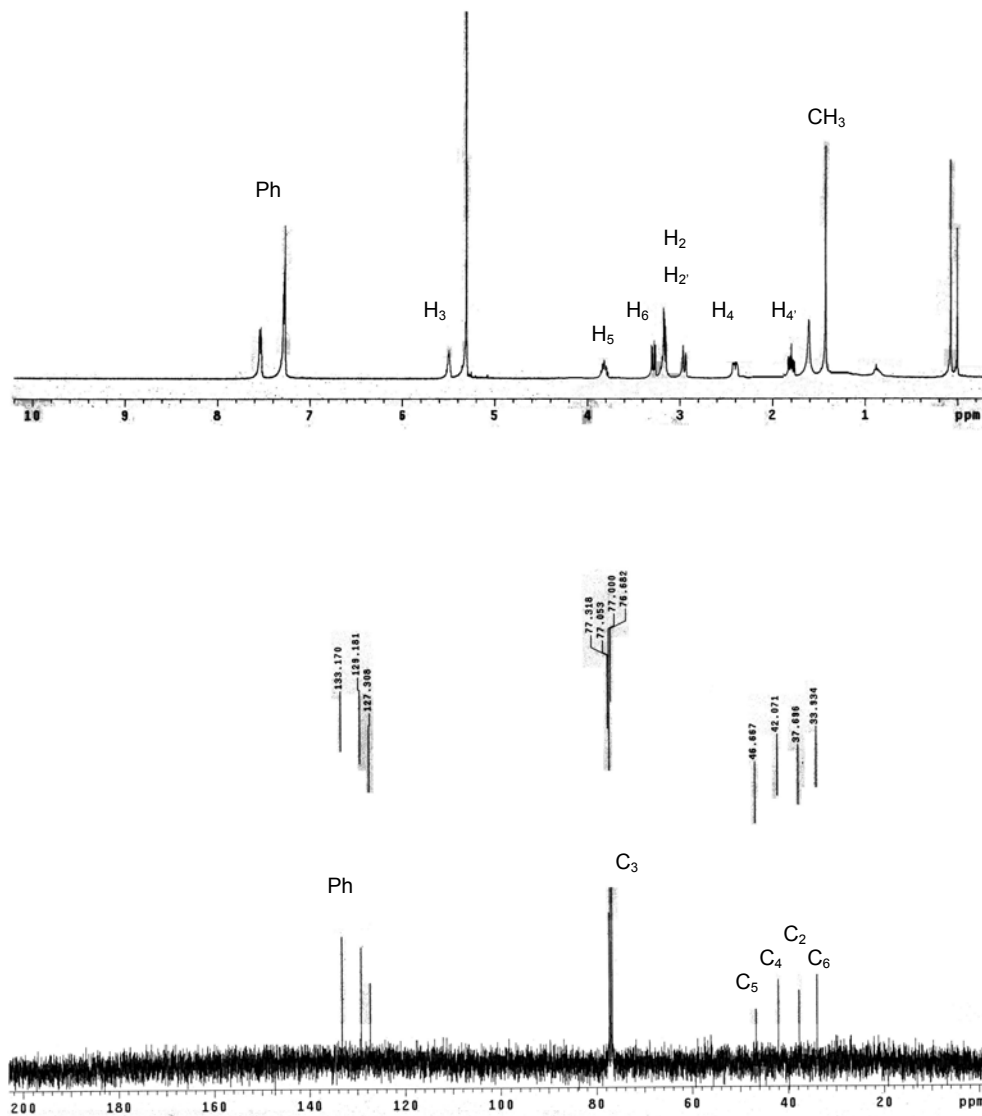
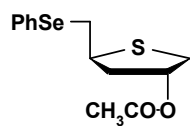
Espectro de RMN de ^1H y ^{13}C de (R)-1-S-tioacetil-4-penten-2-ol (109).

Espectro de RMN de ^1H y ^{13}C de 2H-3-O-terc-butildifenilsilil-3,4-dihidropirano-1,1-dióxido (111)

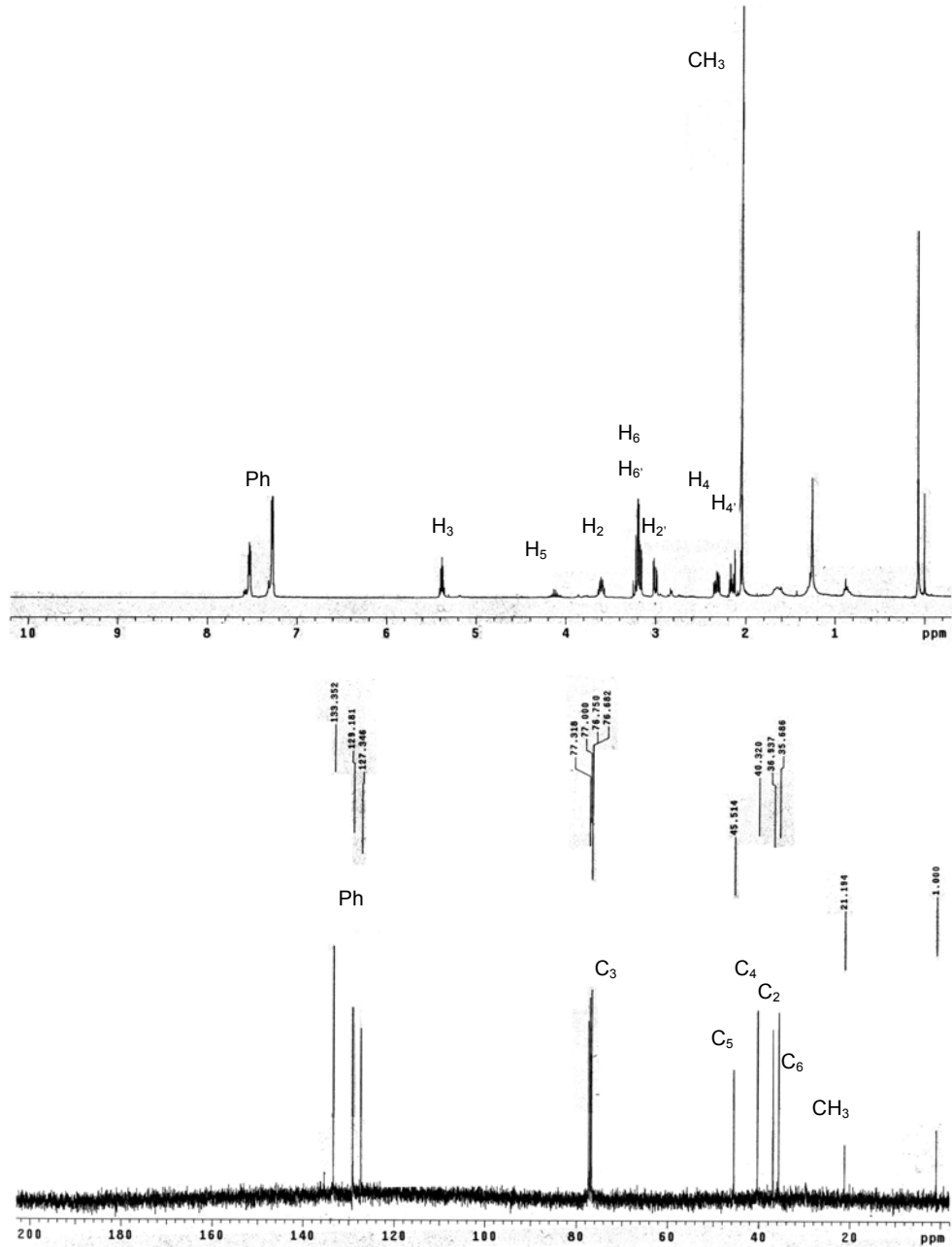
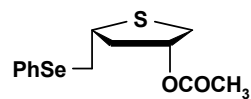


Espectro de RMN de ^1H y ^{13}C de 3,5-diyodo-tetrahidrotiopirano (112)

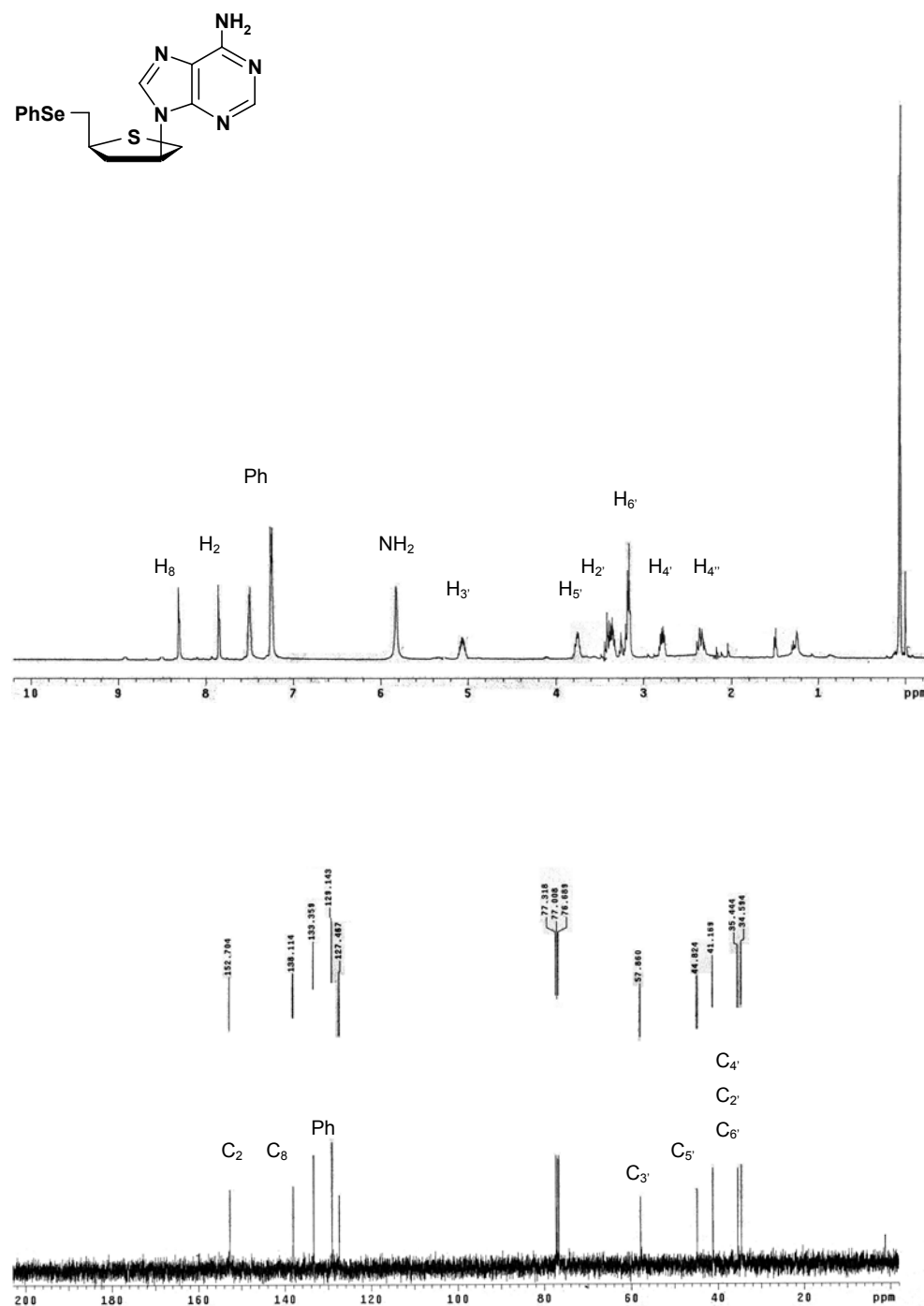
Espectro de RMN de ^1H y ^{13}C de (3S,5S)-5-fenilselenenilmetil-tetrahidrotiofen-3-O-acetyl (114).

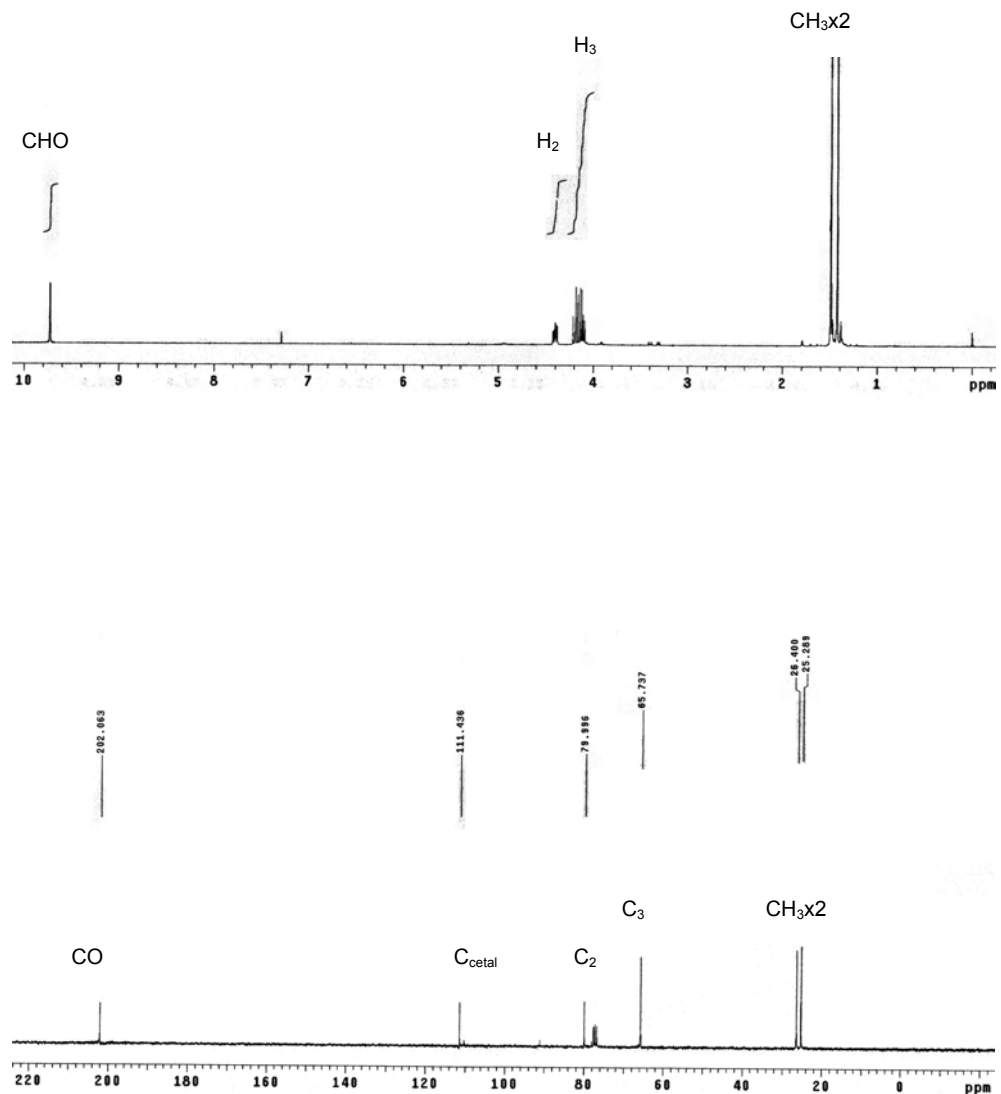
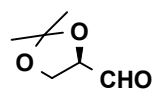


Espectro de RMN de ^1H y ^{13}C del ($3S,5R$)-5-fenilselenenilmetil-tetrahidrotiofen-3-*O*-acetil (115).

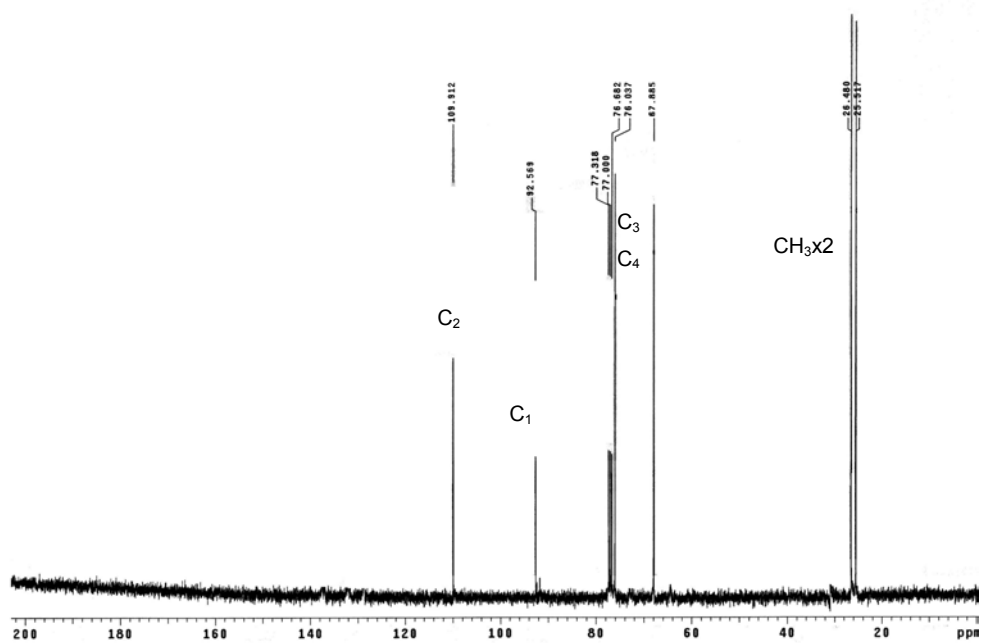
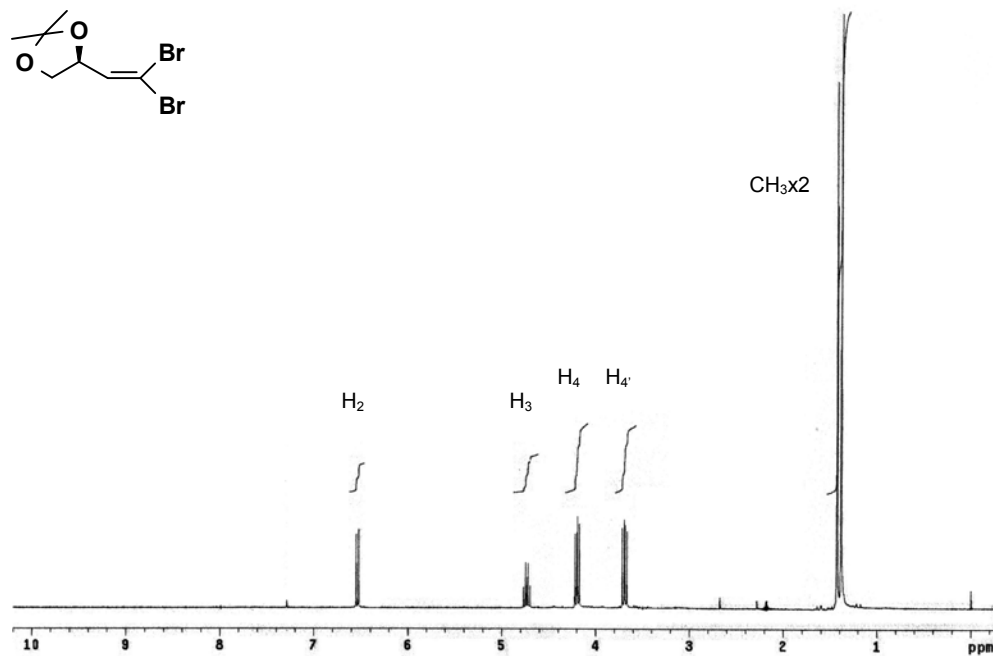
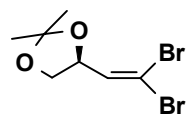


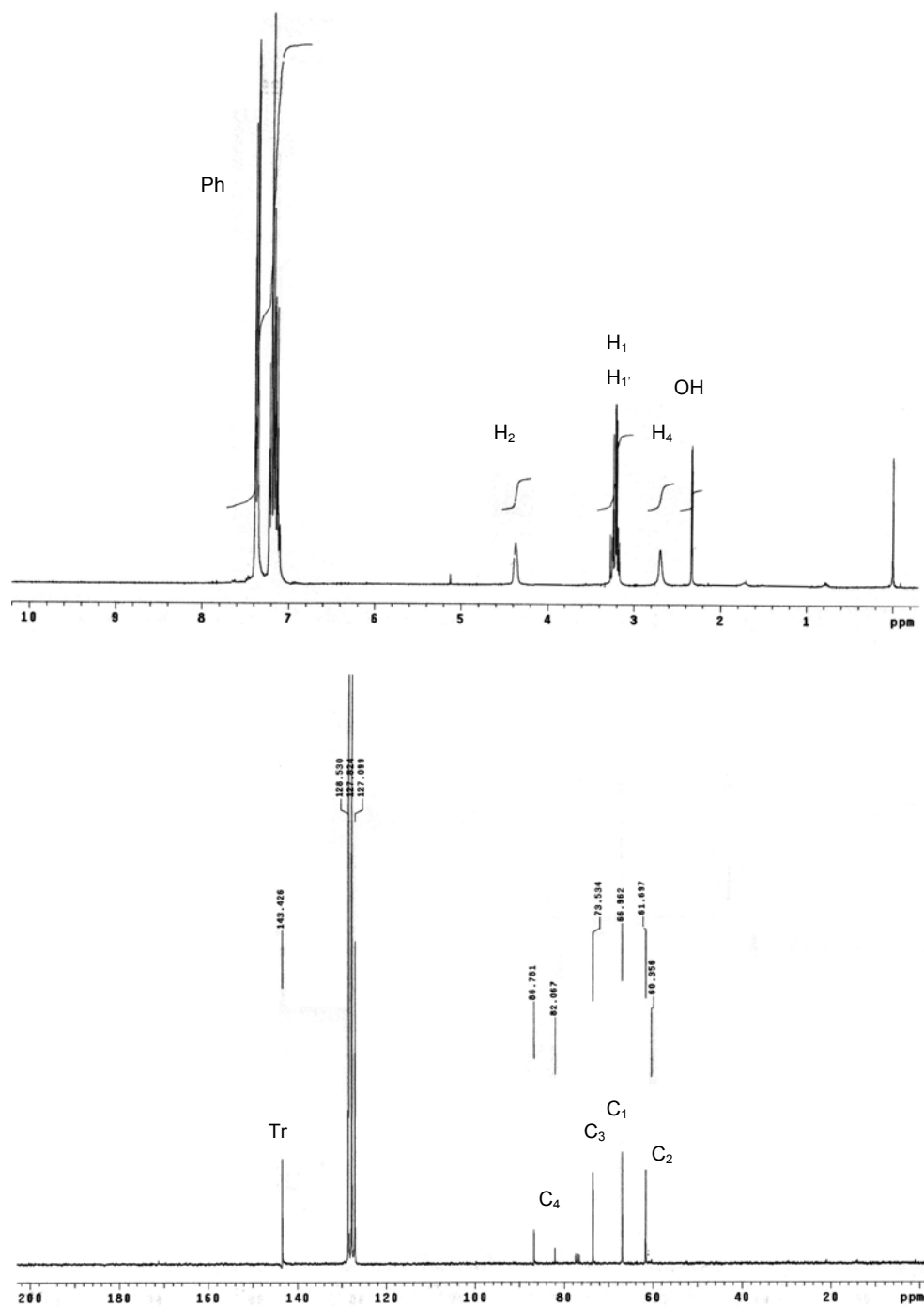
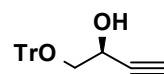
Espectro de RMN de ^1H y ^{13}C del 9-[$(3S, 5S)$ -5-fenilselenenilmetil-tetrahidrofeno-3'-il] adenina(118).



Espectro de RMN de ^1H y ^{13}C del 2,3-*O*-isopropilidén-*D*-gliceraldehído (121).

Espectro de RMN de ^1H y ^{13}C del (S)-1,1-dibromo-3,4-O-isopropiliden-but-1-eno (122).



Espectro de RMN de ^1H y ^{13}C del (S)-1-O-tritil-3-butin-1,2-diol (130).

Espectro de RMN de ^1H y ^{13}C del (S)-1-O-tritil-2-O-(2-oxoethyl)-3-buten-1,2-diol (132).

